
**Silicon Photodetectors,
Optical Sensors and
Infrared Emitters**

**Si-Fotodetektoren,
Optische Sensoren und
IR-Lumineszenzdioden**

Silicon Photodetectors, Optical Sensors and Infrared Emitters

Silicon Photodetectors	
Summary of Types	
Phototransistors	
SMT Transistors	
SMT Transistors in low profile, narrow angle MIDLED package ...	
Detector/Emitter in Multi TOPLED package	
Phototransistors in clear plastic package	
Plastic package with daylight blocking filter for 880/950 nm IRED	
Phototransistor Arrays in plastic package.....	
Phototransistors in metal package.....	
Photodiodes	
SMT PIN Photodiodes in clear package	
SMT PIN Photodiodes with daylight blocking filter	
SMT Dual Photodiodes.....	
PIN Photodiodes in clear plastic package	
PIN Photodiodes with daylight blocking filter matched for 880 nm IRED	
PIN Photodiodes with daylight blocking filter matched for 950 nm IRED	
PIN Photodiodes in metal package.....	
Photo ICs	
Schmitt Trigger	
Photo IC for remote control.....	
Photodetectors for special applications	
Blue sensitive photodiode.....	
Dual photodiodes.....	
Ambient Light Sensors	
Photodiode Ambient Light Sensors	
Phototransistor Ambient Light Sensors	
High Accuracy Ambient Light Sensors	
Optical Sensors	
Summary of Types	
Slotted Interrupters	
SMT Reflective Sensors	
Schmitt Trigger	
SMT Orientation Sensor	
SMT Proximity Sensor	
Infrared Emitters	
Summary of Types	
SMT Emitters	
DRAGON Family	
MIDLED	
SmartLED	
TOPLED Family.....	
SIDELED Family.....	
2 Emitters in Multi TOPLED Package.....	
Detector/Emitter in Multi TOPLED package	
SMR.....	
High power emitters for illumination	
High power emitters 850 nm	
High power emitters 940 nm	
Emitters in plastic package	
Radial packages	
Sidelooker	
Arrays in plastic package.....	
Emitters in metal package	
Outline Drawings	

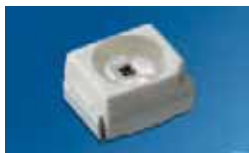
Si-Fotodetektoren, Optische Sensoren und IR-Lumineszenzdioden.....

Si-Fotodetektoren	113
Typenübersicht	113
Fototransistoren	115
SMT Transistoren	115
SMT Transistoren in flachem, engwinkligem MIDLED Gehäuse ...	116
Empfänger/Sender im Multi TOPLED Gehäuse	116
Fototransistoren im klaren Plastikgehäuse	118
Plastikgehäuse mit Tageslichtsperrfilter für 880/950 nm IRED	119
Fototransistor-Zeilen im Plastikgehäuse	120
Fototransistoren im Metallgehäuse	121
Fotodioden	122
SMT PIN Fotodiode in klarem Gehäuse	122
SMT PIN Fotodiode mit Tageslichtsperrfilter	123
SMT Doppelfotodiode	124
PIN Fotodiode in klarem Plastikgehäuse	124
PIN Fotodiode mit Tageslichtsperrfilter für 880 nm IRED	125
PIN Fotodiode mit Tageslichtsperrfilter für 950 nm IRED	126
PIN Fotodiode im Metallgehäuse	127
Foto ICs	128
Schmitt Trigger	128
Foto IC für Fernsteuerung	128
Fotodetektoren für spezielle Anwendungen	129
Blauempfindliche Fotodiode	129
Doppelfotodiode	129
Umgebungslichtsensoren	130
Fotodiode, Umgebungslichtsensor	130
Fototransistor, Umgebungslichtsensor	130
Hochgenauer Umgebungslichtsensor	130
Optische Sensoren	131
Typenübersicht	131
Gabellichtschranken	132
SMT Reflexlichtschranken	132
Schmitt Trigger	132
SMT Kippsensor	133
SMT Näherungssensor	133
IR-Lumineszenzdiode	135
Typenübersicht	135
SMT Emitter	141
DRAGON Family	141
MIDLED	141
SmartLED	142
TOPLED Familie	142
SIDELED Familie	144
2 Sender in Multi TOPLED Package	145
Empfänger/Sender im Multi TOPLED Gehäuse	145
SMR	147
Hochleistungsemittler für Beleuchtung	148
Hochleistungsemittler 850 nm	149
Hochleistungsemittler 940 nm	151
Emitter im Plastikgehäuse	153
Radiale Gehäuse	153
Sidelooker	155
Zeilen im Plastikgehäuse	155
Emitter im Metallgehäuse	156
Maßzeichnungen	159

Summary of Types | Typenübersicht

Phototransistors | Fototransistoren

SMT Transistors | SMT Transistoren



TOPLED
SFH 320
Page / Seite: 115



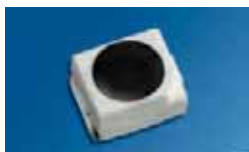
SIDELED
SFH 325
Page / Seite: 115



TOPLED with Lens
SFH 3219
Page / Seite: 115



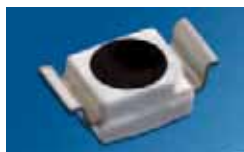
Multi TOPLED
SFH 331 / SFH 7221 / SFH 7225
Page / Seite: 116



TOPLED
SFH 320 FA
Page / Seite: 115



SIDELED
SFH 325 FA
Page / Seite: 115



TOPLED RG
SFH 3211 FA
Page / Seite: 115



MIDLED
SFH 3600
Page / Seite: 116



MIDLED
SFH 3605
Page / Seite: 116



SmartLED 0603
SFH 3010
Page / Seite: 115



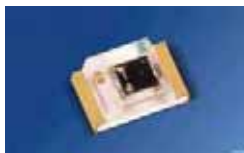
Micro SIDELED
SFH 3204
Page / Seite: 115



Smart DIL
SFH 3400 / SFH 3401
Page / Seite: 115



Smart DIL
SFH 3410
Page / Seite: 130



CHIPLD
SFH 3710
Page / Seite: 130



Premolded SMD
SFH 3201
Page / Seite: 116

Summary of Types | Typenübersicht

Phototransistors | Fototransistoren

Phototransistors in plastic package | Fototransistoren im Plastikgehäuse



T 1
SFH 309 / SFH 310
Page / Seite: 118



T 1
SFH 309 P / SFH 3310
Page / Seite: 118



T 1 3/4
SFH 300 / SFH 313 (not for new design) / SFH 314
Page / Seite: 118



T 1 3/4 SMR
SFH 3500
Page / Seite: 118



T 1
SFH 309 FA / SFH 310 FA
Page / Seite: 119



T 1
SFH 309 PFA
Page / Seite: 119



T 1 3/4
SFH 300 FA / SFH 313 FA / SFH 314FA
Page / Seite: 119



T 1 3/4
SFH 303 FA
Page / Seite: 119



Sidelooker
LPT 80 A
Page / Seite: 118



Mini Sidelooker
SFH 3100 F
Page / Seite: 119



Mini Array
SFH 305
Page / Seite: 120



Mini Array
BPX 81
Page / Seite: 120



Array
BPX 83
Page / Seite: 120

Phototransistors in metal package | Fototransistoren im Metallgehäuse



TO18
BPY 62 / BPX 43
Page / Seite: 121



TO18
BPX 38
Page / Seite: 121

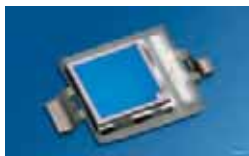


TO18
BP 103
Page / Seite: 121

Summary of Types | Typenübersicht

Photodiodes | Fotodioden

SMT PIN Photodiodes | SMT PIN Fotodioden



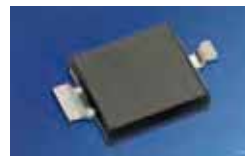
SMT DIL
BP 104 S / BPW 34 S / BPW 34 BS
Page / Seite: 122



SMT DIL RG
BPW 34 SR / BP 104 SR
Page / Seite: 122



SMT DIL
BP 104 FS / BP 104 FAS / BPW 34 FS
/ BPW 34 FAS
Page / Seite: 123



SMT DIL RG
BPW 34 FSR / BPW 34 FASR / BP
104 FASR
Page / Seite: 123



Smart DIL
SFH 2400
Page / Seite: 122



SMR
SFH 2502
Page / Seite: 122



SMT DIL
KOM 2125
Page / Seite: 124



Smart DIL
SFH 2400 FA
Page / Seite: 123



SMR
SFH 2500 FA
Page / Seite: 123

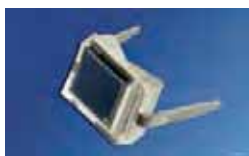


SMR
SFH 2505 FA
Page / Seite: 123



CHIPLED
SFH 2701
Page / Seite: 122

PIN Photodiodes in plastic package | PIN Fotodioden im Plastikgehäuse



DIL
BPW 34 / BPW 34 B
Page / Seite: 124



T 1
SFH 229 / SFH 2332 / SFH 2302
Page / Seite: 124



T 1 3/4
SFH 203 / SFH 213
Page / Seite: 124



DIL
BPW 34 F / BPW 34 FA / BP 104 F
Page / Seite: 126



T 1 3/4
SFH 206 K
Page / Seite: 124



T 1
SFH 229 FA
Page / Seite: 125



T 1 3/4
SFH 203 FA / SFH 213 FA
Page / Seite: 125

Summary of Types | Typenübersicht

Photodiodes | Fotodioden



T 1 3/4
SFH 203 P
Page / Seite: 124



T 1 3/4
SFH 203 PFA
Page / Seite: 126



T 1 3/4
SFH 225 FA / SFH 235 FA
Page / Seite: 125



T 1 3/4
SFH 205 F / SFH 205 FA
Page / Seite: 126

PIN Photodiodes in metal package | PIN Fotodioden im Metallgehäuse



TO18
BPX 65
Page / Seite: 127

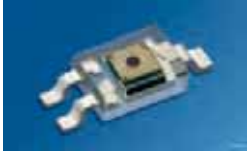


TO39
BPX 61
Page / Seite: 127

Summary of Types | Typenübersicht

Photo ICs | Foto ICs

Schmitt Trigger



Smart DIL
SFH 5440
Page / Seite: 128



Mini Sidelooker
SFH 5140 F
Page / Seite: 128

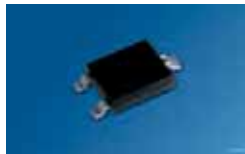


TO18
SFH 5840
Page / Seite: 128

Photo IC for remote control | Foto IC für Fernsteuerung

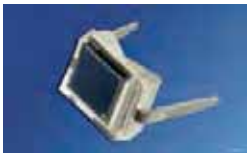


Sidelooker
SFH 5110
Page / Seite: 128



SMT DIL
SFH 5410
Page / Seite: 128

Photodetectors for special applications | Fotodetektoren für spezielle Anwendungen



DIL
BPW 34 B
Page / Seite: 124



SMT DIL
BPW 34 BS
Page / Seite: 122



DIL
BPX 48
Page / Seite: 129



TO39
SFH 221
Page / Seite: 129

Summary of Types | Typenübersicht

Ambient Light Sensors | Umgebungslichtsensoren

Ambient Light Sensors | Umgebungslichtsensoren



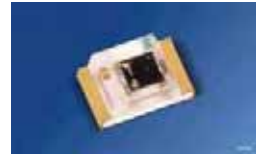
TO39
BPW 21
Page / Seite: 130



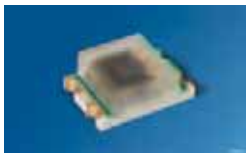
SMT DIL
SFH 2430
Page / Seite: 130



Smart DIL
SFH 3410
Page / Seite: 130



CHIPLED
SFH 3710
Page / Seite: 130



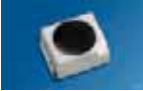








CHIPLED
SFH 5711
Page / Seite: 130





T 1
SFH 3310
Page / Seite: 130

Phototransistors | Fototransistoren



Package Gehäuse	Type Bezeichnung	Half angle φ [°]	Radiant sensitive area typ. [mm ²]	Measurement cond.		V_{CE} max. [V]	$\lambda_{10\%}$ typ. [nm]	t_r, t_f typ [μs]	Ordering Code Bestellnummer	Package Fig. Bauteilzeichnung
				I_{PCE} [μA]						
SMT Transistors SMT Transistoren										
 SmartLED 0603	SFH 3010	± 80	0.04	≥ 25	$\lambda = 950 \text{ nm}, E_p = 0.5 \text{ mW/cm}^2, V_{CE} = 5 \text{ V}$	15	420 ... 1100	7	Q65110A6458	1
 TOPLED	SFH 320	± 60	0.038	16 ... 80	$\lambda = 950 \text{ nm}, E_p = 0.1 \text{ mW/cm}^2, V_{CE} = 5 \text{ V}$	35	450 ... 1150	7	Q65110A2471 Q65110A2469 Q65110A1781 Q65110A2510	2
	SFH 320-3			25 ... 50				7.5		
	SFH 320-3/4			25 ... 80				8		
	SFH 320-4			40 ... 80						
 TOPLED	SFH 320 FA	± 60	0.038	16 ... 80	$\lambda = 950 \text{ nm}, E_p = 0.1 \text{ mW/cm}^2, V_{CE} = 5 \text{ V}$	35	750 ... 1120	7	Q65110A2472 Q65110A2470 Q65110A2475 Q65110A1836	2
	SFH 320 FA-3			25 ... 50				7.5		
	SFH 320 FA-3/4			25 ... 80				8		
	SFH 320 FA-4			40 ... 80						
 TOPLED with Lens	SFH 3219	± 25	0.038	≥ 63	$\lambda = 950 \text{ nm}, E_p = 0.1 \text{ mW/cm}^2, V_{CE} = 5 \text{ V}$	35	450 ... 1150	7	Q65110A2651	3
 TOPLED RG	SFH 3211 FA	± 60	0.038	16 ... 80	$\lambda = 950 \text{ nm}, E_p = 0.1 \text{ mW/cm}^2, V_{CE} = 5 \text{ V}$	35	750 ... 1120	7	Q65110A2526 Q65110A2528	4
	SFH 3211 FA-3/4			25 ... 80				7.5		
 SIDELED	SFH 325	± 60	0.038	16 ... 80	$\lambda = 950 \text{ nm}, E_p = 0.1 \text{ mW/cm}^2, V_{CE} = 5 \text{ V}$	35	450 ... 1120	7	Q65110A2486 Q65110A2488 Q65110A2491 Q65110A2484	5
	SFH 325-3			25 ... 50				7.5		
	SFH 325-3/4			25 ... 80				8		
	SFH 325-4			40 ... 80						
 SIDELED	SFH 325 FA	± 60	0.038	16 ... 80	$\lambda = 950 \text{ nm}, E_p = 0.1 \text{ mW/cm}^2, V_{CE} = 5 \text{ V}$	35	750 ... 1120	7	Q65110A2487 Q65110A2482 Q65110A2490 Q65110A2485	5
	SFH 325 FA-3			25 ... 50				7.5		
	SFH 325 FA-3/4			25 ... 80				8		
	SFH 325 FA-4			40 ... 80						
 Micro SIDELED	SFH 3204	± 60	0.04	≥ 32	$\lambda = 950 \text{ nm}, E_p = 0.1 \text{ mW/cm}^2, V_{CE} = 5 \text{ V}$	15	450 ... 1120	7	Q65110A2506	6
 SmartDIL	SFH 3400	± 60	0.55	63 ... 320	$\lambda = 950 \text{ nm}, E_p = 0.1 \text{ mW/cm}^2, V_{CE} = 5 \text{ V}$	20	460 ... 1080	24	Q65110A2629 Q65110A2634	7
	SFH 3400-2/3			100 ... 320				29		

Silicon Photodetectors | Si-Fotodetektoren

Package Gehäuse	Type Bezeichnung	Half angle φ [°]	Radiant sensitive area typ. [mm ²]			V_{CE} max. [V]	$\lambda_{10\%}$ typ. [nm]	t_r, t_f typ [μs]	Ordering Code Bestellnummer	Package Fig. Bauteilzeichnung
				I_{PCE} [μA]	Measurement cond.					
 SmartDIL	SFH 3401	± 60	0.55	63 ... 320	$\lambda = 950 \text{ nm}, E_p = 0.1 \text{ mW/cm}^2, V_{CE} = 5 \text{ V}$	20	460 ... 1080	24	Q65110A2635	8
	SFH 3401-2/3			100 ... 320				29	Q65110A2644	
	SFH 3201	± 60	0.55	63 ... 320	$\lambda = 950 \text{ nm}, E_p = 0.1 \text{ mW/cm}^2, V_{CE} = 5 \text{ V}$	20	460 ... 1080	24	Q65110A1207	9
	SFH 3201-2/3			100 ... 320				29	Q65110A2479	


Package Gehäuse	Type Bezeichnung	Half angle φ [°]	Radiant sensitive area typ. [mm ²]			V_{CE} max. [V]	$\lambda_{10\%}$ typ. [nm]	t_r, t_f typ [μs]	Ordering Code Bestellnummer	Package Fig. Bauteilzeichnung
				I_{PCE} [μA]	Measurement cond.					

SMT Transistors in low profile, narrow angle MIDLED package | SMT Transistoren in flachem, engwinkligem MIDLED Gehäuse


 MIDLED	SFH 3600	± 20	0.04	100 ... 500	$\lambda = 950 \text{ nm}, E_p = 0.1 \text{ mW/cm}^2, V_{CE} = 5 \text{ V}$	35	500 ... 1100	45	Q65110A1573	10
	SFH 3600-2/3			100 ... 320				37	Q65110A2665	
	SFH 3600-3/4			160 ... 500				57	Q65110A2666	
 MIDLED	SFH 3605	± 20	0.04	100 ... 500	$\lambda = 950 \text{ nm}, E_p = 0.1 \text{ mW/cm}^2, V_{CE} = 5 \text{ V}$	35	500 ... 1100	45	Q65110A1574	10
	SFH 3605-2/3			100 ... 320				37	Q65110A2663	
	SFH 3605-3/4			160 ... 500				57	Q65110A2664	


Package Gehäuse	Type Bezeichnung	Emitter Sender						Ordering Code Bestellnummer	Package Fig. Bauteilzeichnung
		λ_{peak} typ [nm]	Half angle φ [°]	I_V [mcd]	Measurement cond.	V_F [V]	Measurement cond.		

Detector/Emitter in Multi TOPLED package | Empfänger/Sender im Multi TOPLED Gehäuse








 Multi TOPLED	SFH 331-JK	635	± 60	6 (4 ... 12.5)	$I_F = 10 \text{ mA}$	2 (≤ 2.6)	$I_F = 10 \text{ mA}$	Q65110A2821	11
	Detector Empfänger								
		Radiant sensitive area typ. [mm ²]	I_{PCE} [μA]	Measurement cond.	V_{CE} max. [V]	$\lambda_{10\%}$ typ. [nm]	t_r, t_f typ [μs]		
	0.038	≥ 16	$E_e = 0.1 \text{ mW/cm}^2, V_{CE} = 5 \text{ V}$	35	440 ... 1150	7			

Silicon Photodetectors | Si-Fotodetektoren









Package Gehäuse	Type Bezeichnung	Emitter Sender						Ordering Code Bestellnummer	Package Fig. Bauteilzeichnung
		λ_{peak} typ [nm]	Half angle φ [°]	I_e [mW/sr]	Measurement cond.	V_F [V]	Measurement cond.		
Detector/Emitter in Multi TOPLED package Empfänger/Sender im Multi TOPLED Gehäuse									
 Multi TOPLED	SFH 7221	880	± 60	≥ 4	$I_F = 100 \text{ mA}$, $t_p = 20 \text{ ms}$	1.5 (≤ 1.8)	$I_F = 100 \text{ mA}$, $t_p = 20 \text{ ms}$	Q65110A2741	12
Detector Empfänger									
Radiant sensitive area typ. [mm ²]		I_{PCE} [μA]	Measurement cond.	V_{CE} max. [V]	$\lambda_{10\%}$ typ. [nm]	t_r, t_f typ [μs]			
0.038		≥ 16	$E_e = 0.1 \text{ mW/cm}^2$, $V_{\text{CE}} = 5 \text{ V}$	35	440 ... 1150	7			

Package Gehäuse	Type Bezeichnung	Emitter Sender						Ordering Code Bestellnummer	Package Fig. Bauteilzeichnung
		λ_{peak} typ [nm]	Half angle φ [°]	I_V [mcd]	Measurement cond.	V_F [V]	Measurement cond.		
Detector/Emitter in Multi TOPLED package Empfänger/Sender im Multi TOPLED Gehäuse									
 Multi TOPLED	SFH 7225	591	± 60	63 ... 200	$I_F = 20 \text{ mA}$	2 (≤ 2.6)	$I_F = 20 \text{ mA}$, $t_p = 20 \text{ ms}$	Q65110A2743	11
Detector Empfänger									
Radiant sensitive area typ. [mm ²]		I_{CE} typ [μA]	Measurement cond.	V_{CE} max. [V]	Crosstalk $I_{\text{PCE, typ}}$ [mA]	Measurement Conditions			
0.038		650	Std. Light A, $E_v = 1000 \text{ lx}$, $V_{\text{CE}} = 5 \text{ V}$	35	0.5 ... 5	$I_F = 20 \text{ mA}$, $V_{\text{CE}} = 5 \text{ V}$			




Silicon Photodetectors | Si-Fotodetektoren

Package Gehäuse	Type Bezeichnung	Half angle φ [°]	Radiant sensitive area typ. [mm ²]	Measurement cond.		V_{CE} max. [V]	$\lambda_{10\%}$ typ. [nm]	t_r, t_f typ [μs]	Ordering Code Bestellnummer	Package Fig. Bauteilzeich- nung
				I_{PCE} [mA]						
Phototransistors in clear plastic package Fototransistoren im klaren Plastikgehäuse										
 T 1	SFH 309	± 12	0.038	0.4 ... 5	$\lambda = 950 \text{ nm}, E_p = 0.5 \text{ mW/cm}^2, V_{CE} = 5 \text{ V}$	35	380 ... 1150	7	Q62702P0859	13
	SFH 309-3/4			0.63 ... 2				6.5		
	SFH 309-4			1 ... 2				7		
	SFH 309-4/5			1 ... 3.2				7.5		
	SFH 309-5			1.6 ... 3.2				8		
	SFH 309-5/6			1.6 ... 5				8.5		
 T 1	SFH 310	± 25	0.11	0.63 ... 3.2	$\lambda = 950 \text{ nm}, E_p = 0.5 \text{ mW/cm}^2, V_{CE} = 5 \text{ V}$	35	450 ... 1100	9	Q62702P0874	14
	SFH 310-2/3			0.63 ... 2				7.5		
 T 1	SFH 309 P	± 75	0.038	≥ 0.063	$\lambda = 950 \text{ nm}, E_p = 0.5 \text{ mW/cm}^2, V_{CE} = 5 \text{ V}$	35	380 ... 1180	6	Q62702P0245	15
 T 1 3/4	SFH 314	± 40	0.55	≥ 0.63	$\lambda = 950 \text{ nm}, E_p = 0.5 \text{ mW/cm}^2, V_{CE} = 5 \text{ V}$	70	460 ... 1080	11	Q62702P1668	16
	SFH 314-2/3			1 ... 3.2					Q62702P3600	
 T 1 3/4	SFH 300	± 25	0.11	≥ 0.63	$\lambda = 950 \text{ nm}, E_p = 0.5 \text{ mW/cm}^2, V_{CE} = 5 \text{ V}$	35	450 ... 1100	10	Q62702P1189	17
	SFH 300-3/4			≥ 1					Q62702P3586	
 T1 3/4 SMR	SFH 3500	± 13	0.55	4 ... 20	$\lambda = 950 \text{ nm}, E_p = 0.5 \text{ mW/cm}^2, V_{CE} = 5 \text{ V}$	35	450 ... 1060	19	Q65110A2636	18
 T 1	LPT 80A	± 35	0.11	≥ 0.25	$\lambda = 950 \text{ nm}, E_p = 0.5 \text{ mW/cm}^2, V_{CE} = 5 \text{ V}$	30	450 ... 1100	10	Q68000A7852	19





Silicon Photodetectors | Si-Fotodetektoren

Package Gehäuse	Type Bezeichnung	Half angle φ [°]	Radiant sensitive area typ. [mm ²]	Measurement cond.		V_{CE} max. [V]	$\lambda_{10\%}$ typ. [nm]	t_r, t_f typ. [μ s]	Ordering Code Bestellnummer	Package Fig. Bauteilzeichnung	
				I_{PCE} [mA]							
Plastic package with daylight blocking filter for 880/950 nm IRED Plastikgehäuse mit Tageslichtsperrfilter für 880/950 nm IRED											
 T 1	SFH 309 FA	± 12	0.038	0.4 ... 5	$\lambda = 950 \text{ nm}, E_p = 0.5 \text{ mW/cm}^2, V_{CE} = 5 \text{ V}$	35	730 ... 1120	7	Q62702P0941	13	
	SFH 309 FA-3/4			0.63 ... 2				6.5			Q62702P3590
	SFH 309 FA-4			1 ... 2				7			Q62702P0178
	SFH 309 FA-4/5			1 ... 3.2				7.5			Q62702P3591
	SFH 309 FA-5			1.6 ... 3.2				8			Q62702P0180
SFH 309 FA-5/6	1.6 ... 5	8.5	Q62702P5199								
 T 1	SFH 310 FA	± 25	0.11	0.4 ... 3.2	$\lambda = 950 \text{ nm}, E_p = 0.5 \text{ mW/cm}^2, V_{CE} = 5 \text{ V}$	35	740 ... 1100	9	Q62702P1673	14	
	SFH 310 FA-2/3			0.63 ... 2				7.5			Q62702P3596
 T 1	SFH 309 PFA	± 75	0.038	≥ 0.063	$\lambda = 950 \text{ nm}, E_p = 0.5 \text{ mW/cm}^2, V_{CE} = 5 \text{ V}$	35	730 ... 1120	6	Q62702P0246	15	
 T 1 3/4	SFH 313 FA	± 10	0.55	≥ 2.5	$\lambda = 950 \text{ nm}, E_p = 0.5 \text{ mW/cm}^2, V_{CE} = 5 \text{ V}$	70	740 ... 1080	10	Q62702P1674	20	
	SFH 313 FA-2/3			4 ... 12.5				11			Q62702P3597
	SFH 313 FA-3/4			≥ 6.3				13			Q62702P5196
 T 1 3/4	SFH 314 FA	± 40	0.55	≥ 0.63	$\lambda = 950 \text{ nm}, E_p = 0.5 \text{ mW/cm}^2, V_{CE} = 5 \text{ V}$	70	740 ... 1080	11	Q62702P1675	16	
	SFH 314 FA-2/3			1 ... 3.2					Q62702P3599		
 T 1 3/4	SFH 300 FA	± 25	0.11	≥ 0.63	$\lambda = 950 \text{ nm}, E_p = 0.5 \text{ mW/cm}^2, V_{CE} = 5 \text{ V}$	35	730 ... 1120	10	Q62702P1193	17	
	SFH 300 FA-3/4			≥ 1					Q62702P3585		
 T 1 3/4	SFH 303 FA	± 20	0.11	≥ 1	$\lambda = 950 \text{ nm}, E_p = 0.5 \text{ mW/cm}^2, V_{CE} = 5 \text{ V}$	35	750 ... 1120	13	Q62702P0958	21	
	SFH 303 FA-3/4			≥ 1.6				14	Q62702P3587		
 T 1 3/4	SFH 3100 F	± 14	0.11	0.4 ... 5	$\lambda = 950 \text{ nm}, E_p = 0.5 \text{ mW/cm}^2, V_{CE} = 5 \text{ V}$	35	850 ... 1100	9	Q62702P5073	22	

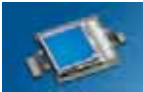
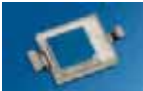
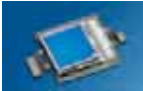
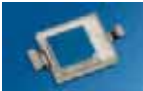
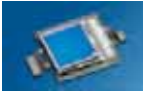



Silicon Photodetectors | Si-Fotodetektoren

Package Gehäuse	Type Bezeichnung	Half angle φ [°]	Radiant sensitive area typ. [mm ²]	Measurement cond.		V_{CE} max. [V]	$\lambda_{10\%}$ typ. [nm]	t_r, t_f typ. [μs]	Ordering Code Bestellnummer	Package Fig. Bauteilzeichnung
				I_{PCE} [mA]						
Phototransistor Arrays in plastic package Fototransistor-Zeilen im Plastikgehäuse										
 Mini Array	SFH 305	± 16	0.11	0.25 ... 1.25	$\lambda = 950 \text{ nm}, E_p = 0.5 \text{ mW/cm}^2, V_{CE} = 5 \text{ V}$	35	450 ... 1100	6	Q62702P0836	23
	SFH 305-2/3			0.25 ... 0.8					Q62702P3589	
 Mini Array	BPX 81	± 18	0.11	≥ 0.25	$\lambda = 950 \text{ nm}, E_p = 0.5 \text{ mW/cm}^2, V_{CE} = 5 \text{ V}$	35	450 ... 1100	7	Q62702P0020	24
	BPX 81-2/3			0.25 ... 0.8					Q62702P3583	
	BPX 81-3			0.4 ... 0.8					Q62702P0043S003	
	BPX 81-3/4			≥ 0.4					Q62702P3584	
	BPX 81-4			≥ 0.63					Q62702P0043S004	
 Array	BPX 80	± 18	0.11	≥ 0.32	$\lambda = 950 \text{ nm}, E_p = 0.5 \text{ mW/cm}^2, V_{CE} = 5 \text{ V}$	35	450 ... 1100	6	Q62702P0028	25
	BPX 82								Q62702P0021	
	BPX 83								Q62702P0025	
	BPX 84								Q62702P0030	
	BPX 85								Q62702P0031	
	BPX 86								Q62702P0022	
	BPX 87								Q62702P0032	
	BPX 88								Q62702P0033	
	BPX 89								Q62702P0026	

Silicon Photodetectors | Si-Fotodetektoren

Package Gehäuse	Type Bezeichnung	Half angle φ [°]	Radiant sensitive area typ. [mm ²]	I_{PCE}	Measurement cond.	V_{CE} max. [V]	$\lambda_{10\%}$ typ. [nm]	t_r, t_f typ. [μ s]	Ordering Code Bestellnummer	Package Fig. Bauteilzeichnung
				[mA]						
Phototransistors in metal package Fototransistoren im Metallgehäuse										
 TO18	BPY 62	± 8	0.11	≤ 4	$\lambda = 950 \text{ nm}, E_p = 0.5 \text{ mW/cm}^2, V_{CE} = 5 \text{ V}$	35	400 ... 1100	8	Q60215Y0062	26
	BPY 62-3			≤ 1.6				7	Q60215Y1112	
	BPY 62-3/4			≤ 2.5				8	Q62702P5198	
	BPY 62-4							9	Q60215Y1113	
 TO18	BPX 43	± 15	0.675	≥ 0.8	$\lambda = 950 \text{ nm}, E_p = 0.5 \text{ mW/cm}^2, V_{CE} = 5 \text{ V}$	50	450 ... 1100	14	Q62702P0016	26
	BPX 43-3/4			1.25 ... 4					Q62702P3581	
	BPX 43-4			2 ... 4				15	Q62702P0016S004	
	BPX 43-4/5			≥ 2				17	Q62702P3582	
	BPX 43-5			≥ 3.2				18	Q62702P0016S005	
 TO18	BPX 38	± 40	0.675	≥ 0.2	$\lambda = 950 \text{ nm}, E_p = 0.5 \text{ mW/cm}^2, V_{CE} = 5 \text{ V}$	50	450 ... 1120	12	Q62702P0015	27
	BPX 38-2/3			0.2 ... 0.63				11	Q62702P3578	
	BPX 38-3			0.32 ... 0.63				12	Q62702P0015S003	
	BPX 38-4			0.5 ... 1				15	Q62702P0015S004	
 TO18	BP 103	± 55	0.11	≥ 0.08	$\lambda = 950 \text{ nm}, E_p = 0.5 \text{ mW/cm}^2, V_{CE} = 5 \text{ V}$	35	450 ... 1100	8	Q62702P0075	28
	BP 103-3/4			0.125 ... 0.4					Q62702P3577	

Photodiodes | Fotodioden

Package Gehäuse	Type Bezeichnung	Half angle $\varphi \pm$ [°]	Radiant sensitive area typ. [mm ²]	Measurement cond.		$\lambda_{10\%}$ typ. [nm]	Measurement cond.		Ordering Code Bestellnummer	Package Fig. Bauteilzeichnung		
				I_p [μA]	I_R [nA]		t_r, t_f typ [μs]					
 SMT DIL	BP 104 S	± 60	4.84	55 (≥ 40)	$E_v = 1000$ lx, Std. Light A, $V_R = 5$ V	2 (≤ 30)	$V_R = 10$ V	400 ... 1100	0.02	$V_R = 5$ V, $R_L = 50$ Ω, $\lambda = 850$ nm	Q65110A2626	29
 SMT DIL	BP 104 SR	± 60	4.84	55 (≥ 40)	$E_v = 1000$ lx, Std. Light A, $V_R = 5$ V	2 (≤ 30)	$V_R = 10$ V	400 ... 1100	0.02	$V_R = 5$ V, $R_L = 50$ Ω, $\lambda = 850$ nm	Q65110A4262	30
 SMT DIL	BPW 34 S	± 60	7.02	80 (≥ 50)	$E_v = 1000$ lx, Std. Light A, $V_R = 5$ V	2 (≤ 30)	$V_R = 10$ V	400 ... 1100	0.02	$V_R = 5$ V, $R_L = 50$ Ω, $\lambda = 850$ nm	Q65110A1209	29
 SMT DIL RG	BPW 34 SR	± 60	7.02	80 (≥ 50)	$E_v = 1000$ lx, Std. Light A, $V_R = 5$ V	2 (≤ 30)	$V_R = 10$ V	400 ... 1100	0.02	$V_R = 5$ V, $R_L = 50$ Ω, $\lambda = 850$ nm	Q65110A2701	30
 SMT DIL	BPW 34 BS	± 60	7.45	75	$E_v = 1000$ lx, Std. Light A, $V_R = 5$ V	2 (≤ 30)	$V_R = 10$ V	350 ... 1100	0.025	$V_R = 5$ V, $R_L = 50$ Ω, $\lambda = 850$ nm	Q65110A2625	29
 Smart DIL	SFH 2400	± 60	1.00	10 (> 6)	$E_v = 1000$ lx, Std. Light A, $V_R = 5$ V	1 (≤ 5)	$V_R = 20$ V	400 ... 1100	0.005	$V_R = 20$ V, $R_L = 50$ Ω, $\lambda = 850$ nm	Q65110A2628	31
 T1 3/4 SMR	SFH 2505	± 15	1.00	100	$E_v = 1000$ lx, Std. Light A, $V_R = 5$ V	1 (≤ 5)	$V_R = 20$ V	400 ... 1100	0.005	$V_R = 20$ V, $R_L = 50$ Ω, $\lambda = 850$ nm	Q65110A1203	32
 CHIPLED	SFH 2701	± 60	0.36	1.4	$E_v = 1000$ lx, Std. Light A, $V_R = 5$ V	0.05 (≤ 5)	$V_R = 5$ V	400 ... 1050	0.002	$V_R = 5$ V, $R_L = 50$ Ω, $\lambda = 650$ nm, $I_p = 1$ mA	Q65110A2960	33


Silicon Photodetectors | Si-Fotodetektoren

Package Gehäuse	Type Bezeichnung	Half angle $\varphi \pm$ [°]	Radiant sensitive area typ. [mm ²]	Measurement cond.		I_R [nA]	Measurement cond.	$\lambda_{10\%}$ typ. [nm]	Measurement cond.		Ordering Code Bestellnummer	Package Fig. Bauteilzeichnung
				I_P [μA]					t_r, t_f typ [μs]			
 SMT DIL	BP 104 FS	± 60	4.84	34 (≥ 25)	$\lambda = 950$ nm, $E_e = 1$ mW/cm ² , $V_R = 5$ V	2 (≤ 30)	$V_R = 10$ V	800 ... 1100	0.02	$V_R = 5$ V, $R_L = 50 \Omega$, $\lambda = 850$ nm	Q65110A2627	34
	BP 104 FAS				$\lambda = 870$ nm, $E_e = 1$ mW/cm ² , $V_R = 5$ V			730 ... 1100			Q65110A2672	
 SMT DIL	BP 104 FASR	± 60	4.84	34 (≥ 25)	$\lambda = 870$ nm, $E_e = 1$ mW/cm ² , $V_R = 5$ V	2 (≤ 30)	$V_R = 10$ V	730 ... 1100	0.02	$V_R = 5$ V, $R_L = 50 \Omega$, $\lambda = 850$ nm	Q65110A4263	35
 SMT DIL	BPW 34 FS	± 60	7.02	50 (≥ 40)	$\lambda = 950$ nm, $E_e = 1$ mW/cm ² , $V_R = 5$ V	2 (≤ 30)	$V_R = 10$ V	780 ... 1100	0.02	$V_R = 5$ V, $R_L = 50 \Omega$, $\lambda = 850$ nm	Q65110A2700	34
	BPW 34 FAS				$\lambda = 870$ nm, $E_e = 1$ mW/cm ² , $V_R = 5$ V			730 ... 1100			Q65110A3121	
 SMT DIL RG	BPW 34 FSR	± 60	7.02	50 (≥ 40)	$\lambda = 950$ nm, $E_e = 1$ mW/cm ² , $V_R = 5$ V	2 (≤ 30)	$V_R = 10$ V	780 ... 1100	0.02	$V_R = 5$ V, $R_L = 50 \Omega$, $\lambda = 850$ nm	Q65110A2740	35
	BPW 34 FASR				$\lambda = 870$ nm, $E_e = 1$ mW/cm ² , $V_R = 5$ V			730 ... 1100			Q65110A2699	
 Smart DIL	SFH 2400 FA	± 60	1.00	6.2 (≥ 3.6)	$\lambda = 870$ nm, $E_e = 1$ mW/cm ² , $V_R = 5$ V	1 (≤ 5)	$V_R = 20$ V	750 ... 1100	0.005	$V_R = 20$ V, $R_L = 50 \Omega$, $\lambda = 850$ nm	Q65110A2638	31
 T1 3/4 SMR	SFH 2500 FA	± 15	1.00	70 (≥ 50)	$\lambda = 870$ nm, $E_e = 1$ mW/cm ² , $V_R = 5$ V	1 (≤ 5)	$V_R = 20$ V	750 ... 1100	0.005	$V_R = 20$ V, $R_L = 50 \Omega$, $\lambda = 850$ nm	Q65110A1202	18
 T1 3/4 SMR	SFH 2505 FA	± 15	1.00	70 (≥ 50)	$\lambda = 870$ nm, $E_e = 1$ mW/cm ² , $V_R = 5$ V	1 (≤ 5)	$V_R = 20$ V	750 ... 1100	0.005	$V_R = 20$ V, $R_L = 50 \Omega$, $\lambda = 850$ nm	Q65110A1204	32

Silicon Photodetectors | Si-Fotodetektoren








Package Gehäuse	Type Bezeichnung	Half angle $\varphi \pm$ [°]	Radiant sensitive area typ. [mm ²]	Measurement cond.		$\lambda_{10\%}$ typ. [nm]	Measurement cond.		Ordering Code Bestellnummer	Package Fig. Bauteilzeichnung
				I_P [μA]	I_R [nA]		t_r, t_f typ [μs]	Measurement cond.		

SMT Dual Photodiodes | SMT Doppelfotodioden

 SMT DIL	KOM 2125	± 60	4 diode A 10 diode B	40 (≥ 30) diode A 100 (≥ 75) diode B	$E_V = 1000$ lx, Std. Light A, $V_R = 5$ V	5 (≤ 30) diode A 10 (≤ 30) diode B	$V_R = 10$ V	400 ... 1100	0.018	$V_R = 5$ V; $R_L = 50$ Ω; $\lambda = 850$ nm; $I_p = 800$ μA	Q65110A2703	36
--	----------	------	-------------------------	---	--	---------------------------------------	--------------	--------------	-------	--	-------------	----

Package Gehäuse	Type Bezeichnung	Half angle $\varphi \pm$ [°]	Radiant sensitive area typ. [mm ²]	Measurement cond.		$\lambda_{10\%}$ typ. [nm]	Measurement cond.		Ordering Code Bestellnummer	Package Fig. Bauteilzeichnung
				I_P [μA]	I_R [nA]		t_r, t_f typ [μs]	Measurement cond.		



PIN Photodiodes in clear plastic package | PIN Fotodioden in klarem Plastikgehäuse

 DIL	BPW 34	± 60	7.02	80 (≥ 50)	$E_V = 1000$ lx, Std. Light A, $V_R = 5$ V	2 (≤ 30)	$V_R = 10$ V	400 ... 1100	0.02	$V_R = 5$ V, $R_L = 50$ Ω, $\lambda = 850$ nm	Q62702P0073	37
 DIL	BPW 34 B	± 60	7.45	75	$E_V = 1000$ lx, Std. Light A, $V_R = 5$ V	2 (≤ 30)	$V_R = 10$ V	350 ... 1100	0.025	$V_R = 5$ V, $R_L = 50$ Ω, $\lambda = 850$ nm	Q65110A3126	37
 TO-92	SFH 206 K	± 60	7.02	80 (≥ 50)	$E_V = 1000$ lx, Std. Light A, $V_R = 5$ V	2 (≤ 30)	$V_R = 10$ V	400 ... 1100	0.02	$V_R = 5$ V, $R_L = 50$ Ω, $\lambda = 850$ nm	Q62702P0129	38
 T 1	SFH 229	± 17	0.31	28 (≥ 18)	$E_V = 1000$ lx, Std. Light A, $V_R = 5$ V	0.05 (≤ 5)	$V_R = 10$ V	380 ... 1100	0.01	$V_R = 10$ V, $R_L = 50$ Ω, $\lambda = 850$ nm	Q62702P0215	13
 T 1 3/4	SFH 203	± 20	1.00	80 (≥ 50)	$E_V = 1000$ lx, Std. Light A, $V_R = 5$ V	1 (≤ 5)	$V_R = 20$ V	400 ... 1100	0.005	$V_R = 20$ V, $R_L = 50$ Ω, $\lambda = 850$ nm	Q62702P0955	39
 T 1 3/4	SFH 213	± 10	1.00	135 (≥ 100)	$E_V = 1000$ lx, Std. Light A, $V_R = 5$ V	1 (≤ 5)	$V_R = 20$ V	400 ... 1100	0.005	$V_R = 20$ V, $R_L = 50$ Ω, $\lambda = 850$ nm	Q62702P0930	20
 T 1 3/4	SFH 203 P	± 75	1.00	9.5 (≥ 5)	$E_V = 1000$ lx, Std. Light A, $V_R = 5$ V	1 (≤ 5)	$V_R = 20$ V	400 ... 1100	0.005	$V_R = 20$ V, $R_L = 50$ Ω, $\lambda = 850$ nm	Q62702P0942	40

Silicon Photodetectors | Si-Fotodetektoren







Package Gehäuse	Type Bezeichnung	Half angle $\varphi \pm$ [°]	Radiant sensitive area typ. [mm ²]	Measurement cond.		I_R [nA]	Measurement cond.	$\lambda_{10\%}$ typ. [nm]	Measurement cond.		Ordering Code Bestellnummer	Package Fig. Bauteilzeichnung
				I_P [μA]	Measurement cond.				t_r, t_f typ [μs]	Measurement cond.		

PIN Photodiodes in clear plastic package | PIN Fotodioden in klarem Plastikgehäuse



 T 1	SFH 2302	± 17	0.36	10	$\lambda = 650$ nm, $E_e = 0.5$ mW/cm ² , $V_R = 5$ V	0.05 (≤ 5)	$V_R = 5$ V	400 ... 1050	0.002	$V_R = 5$ V, $R_L = 50$ Ω, $\lambda = 650$ nm, $I_p = 1$ mA	Q65110A6343	13
 T 1	SFH 2332	± 17	0.36	4.5	$\lambda = 405$ nm, $E_e = 0.5$ mW/cm ² , $V_R = 5$ V	0.05 (≤ 5)	$V_R = 5$ V	350 ... 1050	0.002	$V_R = 10$ V; $R_L = 50$ Ω; $\lambda = 405$ nm; $I_p = 1$ mA	Q65110A6342	13

Package Gehäuse	Type Bezeichnung	Half angle $\varphi \pm$ [°]	Radiant sensitive area typ. [mm ²]	Measurement cond.		I_R [nA]	Measurement cond.	$\lambda_{10\%}$ typ. [nm]	Measurement cond.		Ordering Code Bestellnummer	Package Fig. Bauteilzeichnung
				I_P [μA]	Measurement cond.				t_r, t_f typ [μs]	Measurement cond.		

PIN Photodiodes with daylight blocking filter matched for 880 nm IRED | PIN Fotodiode mit Tageslichtsperrfilter für 880 nm IRED




 DIL	BPW 34 FA	± 60	7.02	50 (≥ 40)	$\lambda = 870$ nm, $E_e = 1$ mW/cm ² , $V_R = 5$ V	2 (≤ 30)	$V_R = 10$ V	730 ... 1100	0.02	$V_R = 5$ V, $R_L = 50$ Ω, $\lambda = 850$ nm	Q62702P1129	41
 TO-92	SFH 225 FA	± 60	4.84	34 (≥ 25)	$\lambda = 870$ nm, $E_e = 1$ mW/cm ² , $V_R = 5$ V	2 (≤ 30)	$V_R = 10$ V	740 ... 1120	0.02	$V_R = 5$ V, $R_L = 50$ Ω, $\lambda = 850$ nm	Q62702P1051	42
 TO-92	SFH 235 FA	± 65	7.02	50 (≥ 40)	$\lambda = 870$ nm, $E_e = 1$ mW/cm ² , $V_R = 5$ V	2 (≤ 30)	$V_R = 10$ V	740 ... 1120	0.02	$V_R = 5$ V, $R_L = 50$ Ω, $\lambda = 850$ nm	Q62702P0273	42
 TO-92	SFH 205 FA	± 60	7.02	60 (≥ 45)	$\lambda = 870$ nm, $E_e = 1$ mW/cm ² , $V_R = 5$ V	2 (≤ 30)	$V_R = 10$ V	740 ... 1100	0.02	$V_R = 5$ V, $R_L = 50$ Ω, $\lambda = 850$ nm	Q62702P1677	43
 T 1	SFH 229 FA	± 17	0.31	20 (≥ 10.8)	$\lambda = 950$ nm, $E_e = 1$ mW/cm ² , $V_R = 5$ V	0.05 (≤ 5)	$V_R = 10$ V	730 ... 1100	0.01	$V_R = 10$ V, $R_L = 50$ Ω, $\lambda = 850$ nm	Q62702P0216	13
 T 1 3/4	SFH 203 FA	± 20	1.00	50 (≥ 30)	$\lambda = 870$ nm, $E_e = 1$ mW/cm ² , $V_R = 5$ V	1 (≤ 5)	$V_R = 20$ V	800 ... 1100	0.005	$V_R = 20$ V, $R_L = 50$ Ω, $\lambda = 850$ nm	Q62702P0956	39

Silicon Photodetectors | Si-Fotodetektoren

Package Gehäuse	Type Bezeichnung	Half angle $\varphi \pm$ [°]	Radiant sensitive area typ. [mm ²]	Measurement cond.		I_R [nA]	Measurement cond. $V_R = 20\text{ V}$	$\lambda_{10\%}$ typ. [nm]	Measurement cond.		Ordering Code Bestellnummer	Package Fig. Bauteilzeichnung
				I_P [μA]					t_r, t_f typ [μs]			
 T 1 3/4	SFH 213 FA	± 10	1.00	90 (≥ 65)	$\lambda = 870\text{ nm}, E_{\theta} = 1\text{ mW/cm}^2, V_R = 5\text{ V}$	1 (≤ 5)	$V_R = 20\text{ V}$	750 ... 1100	0.005	$V_R = 20\text{ V}, R_L = 50\ \Omega, \lambda = 850\text{ nm}$	Q62702P1671	20
 T 1 3/4	SFH 203 PFA	± 75	1.00	6.2 (≥ 3.6)	$\lambda = 870\text{ nm}, E_{\theta} = 1\text{ mW/cm}^2, V_R = 5\text{ V}$	1 (≤ 5)	$V_R = 20\text{ V}$	750 ... 1100	0.005	$V_R = 20\text{ V}, R_L = 50\ \Omega, \lambda = 850\text{ nm}$	Q62702P0947	40

Package Gehäuse	Type Bezeichnung	Half angle $\varphi \pm$ [°]	Radiant sensitive area typ. [mm ²]	Measurement cond.		I_R [nA]	Measurement cond. $V_R = 10\text{ V}$	$\lambda_{10\%}$ typ. [nm]	Measurement cond.		Ordering Code Bestellnummer	Package Fig. Bauteilzeichnung
				I_P [μA]					t_r, t_f typ [μs]			

PIN Photodiodes with daylight blocking filter matched for 950 nm IRED | PIN Fotodiode mit Tageslichtsperrfilter für 950 nm IRED

 DIL	BP 104 F	± 60	4.84	34 (≥ 25)	$\lambda = 950\text{ nm}, E_{\theta} = 1\text{ mW/cm}^2, V_R = 5\text{ V}$	2 (≤ 30)	$V_R = 10\text{ V}$	800 ... 1100	0.02	$V_R = 5\text{ V}, R_L = 50\ \Omega, \lambda = 850\text{ nm}$	Q62702P0084	41
 DIL	BPW 34 F	± 60	7.02	50 (≥ 40)	$\lambda = 950\text{ nm}, E_{\theta} = 1\text{ mW/cm}^2, V_R = 5\text{ V}$	2 (≤ 30)	$V_R = 10\text{ V}$	780 ... 1100	0.02	$V_R = 5\text{ V}, R_L = 50\ \Omega, \lambda = 850\text{ nm}$	Q62702P0929	41
 TO-92	SFH 205 F	± 60	7.02	60 (≥ 45)	$\lambda = 950\text{ nm}, E_{\theta} = 1\text{ mW/cm}^2, V_R = 5\text{ V}$	2 (≤ 30)	$V_R = 10\text{ V}$	800 ... 1100	0.02	$V_R = 5\text{ V}, R_L = 50\ \Omega, \lambda = 850\text{ nm}$	Q62702P0102	43

Silicon Photodetectors | Si-Fotodetektoren


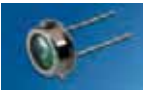



Package Gehäuse	Type Bezeichnung	Half angle $\varphi \pm$ [°]	Radiant sensitive area typ. [mm ²]	Measurement cond.		$\lambda_{10\%}$ typ. [nm]	Measurement cond.		Ordering Code Bestellnummer	Package Fig. Bauteilzeichnung		
				I_p [μA]	I_R [nA]		t_r, t_f typ [μs]					
PIN Photodiodes in metal package PIN Fotodioden im Metallgehäuse												
 TO18	BPX 65	± 40	1.00	10 (≥ 5.5)	$E_v = 1000$ lx, Std. Light A, $V_R = 5$ V	1 (≤ 5)	$V_R = 20$ V	350 ... 1100	0.012	$V_R = 5$ V, $R_L = 50 \Omega$, $\lambda = 850$ nm	Q62702P0027	44
 TO39	BPX 61	± 55	7.02	70 (≥ 50)	$E_v = 1000$ lx, Std. Light A, $V_R = 5$ V	2 (≤ 30)	$V_R = 10$ V	400 ... 1100	0.02	$V_R = 5$ V, $R_L = 50 \Omega$, $\lambda = 850$ nm	Q62705P0025	45

Photo ICs | Foto ICs



Package Gehäuse	Type Bezeichnung	Half angle φ [°]	V_{CC} [V]	E_e typ	Measurement cond.	$\lambda_{10\%}$ typ. [nm]	I_{OUT} max [mA]	t_{PLH} [μ s]	Ordering Code Bestellnummer	Package Fig. Bauteilzeichnung
				[mW/m ²]						

Schmitt Trigger

	SFH 5440	± 60	4 ... 18	+1700 (\leq +3200)	$V_{CC} = 5V, \lambda = 950 \text{ nm}$	400 ... 1100	16	5 (\leq 15)	Q65110A1212	46
	SFH 5140 F	± 12	4 ... 18	+150 (\leq +500)	$V_{CC} = 5V, \lambda = 950 \text{ nm}$	840 ... 1080	16	5 (\leq 15)	Q62702P5112	47
	SFH 5840	± 5	4 ... 18	+100 (\leq +320)	$V_{CC} = 5V, \lambda = 950 \text{ nm}$	400 ... 1100	16	5 (\leq 15)	Q62702P5116	48

Package Gehäuse	Type Bezeichnung	f_0	Half angle φ [°]	E_e typ [mW/m ²]	Ordering Code Bestellnummer	Package Fig. Bauteilzeichnung
-----------------	------------------	-------	-----------------------------	-----------------------------------	-----------------------------	-------------------------------

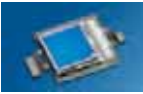
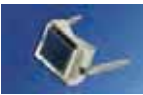

Photo IC for remote control | Foto IC für Fernsteuerung

	SFH 5110-30	30	h.: ± 50 , v.: ± 30	0.35 (\leq 0.5)	Q62702P5088	49
	SFH 5110-33	33			Q62702P5089	
	SFH 5110-36	36			Q62702P5090	
	SFH 5110-38	38			Q62702P5091	
	SFH 5110-40	40			Q62702P5092	
 SMT DIL	SFH 5410-36	36	± 60	1.4 (\leq 2.0)	Q65110A1727	50
	SFH 5410-38	38	Q65110A3909			

Photodetectors for special applications | Fotodetektoren für spezielle Anwendungen



Package Gehäuse	Type Bezeichnung	Half angle φ	Radiant sensitive area typ.	Measur-ment cond.		$\lambda_{10\%}$ typ.	Measur-ment cond.		Ordering Code Bestellnummer	Package Fig. Bauteilzeichnung
				I_p			I_R			
		[°]	[mm ²]	[μ A]		[nm]				

Blue sensitive photodiode | Blauempfindliche Fotodiode

 SMT DIL	BPW 34 BS	± 60	7.45	14.8 (≥ 10.8)	$\lambda = 400$ nm, $E_e = 1$ mW/cm ² , $V_R = 5$ V	2 (≤ 30)	$V_R = 10$ V	350 ... 1100	0.025	$V_R = 5$ V, $R_L = 50$ Ω , $\lambda = 850$ nm	Q65110A2625	29
 DIL	BPW 34 B	± 60	7.45	14.8 (≥ 10.8)	$\lambda = 400$ nm, $E_e = 1$ mW/cm ² , $V_R = 5$ V	2 (≤ 30)	$V_R = 10$ V	350 ... 1100	0.025	$V_R = 5$ V, $R_L = 50$ Ω , $\lambda = 850$ nm	Q65110A3126	37
 T 1	SFH 2332	± 17	0.36	4.5	$\lambda = 405$ nm, $E_e = 0.5$ mW/cm ² , $V_R = 5$ V	0.05 (≤ 5)	$V_R = 5$ V	350 ... 1050	0.002	$V_R = 10$ V; $R_L = 50$ Ω ; $\lambda = 405$ nm; $I_p = 1$ mA	Q65110A6342	13

Package Gehäuse	Type Bezeichnung	Half angle φ	Radiant sensitive area typ.	Measur-ment cond.		$\lambda_{10\%}$ typ.	Measur-ment cond.		Ordering Code Bestellnummer	Package Fig. Bauteilzeichnung
				I_p			I_R			
		[°]	[mm ²]	[μ A]		[nm]				



Dual photodiodes | Doppelfotodioden

 SFH 221	SFH 221	± 55	1.54	24 (≥ 15)	$E_v = 1000$ lx, Std. Light A, $V_R = 5$ V	10 (≤ 100)	$V_R = 10$ V	400 ... 1100	0.5	$V_R = 5$ V, $R_L = 1$ k Ω , $\lambda = 850$ nm	Q62702P0270	51
 BPX 48	BPX 48	± 60	1.54	24 (≥ 15)	$E_v = 1000$ lx, Std. Light A, $V_R = 5$ V	10 (≤ 100)	$V_R = 10$ V	400 ... 1150	0.5	$V_R = 5$ V, $R_L = 1$ k Ω , $\lambda = 850$ nm	Q62702P0017S0 01	52

Ambient Light Sensors | Umgebungslichtsensoren




Package Gehäuse	Type Bezeichnung	Half angle φ [°]	Radiant sensitive area typ. [mm ²]	Measurement cond.		Measurement cond.	$\lambda_{10\%}$ typ. [nm]	Ordering Code Bestellnummer	Package Fig. Bauteilzeichnung
				I_P [μA]	I_R [nA]				

Photodiode Ambient Light Sensors | Fotodiode, Umgebungslichtsensor

	BPW 21	± 55	7.45	10 (≥ 5.5)	$E_v = 1000$ lx, Std. Light A, $V_R = 5$ V	2 (≤ 30)	$V_R = 5$ V	350 ... 820	Q62702P0885	45
 SMT DIL	SFH 2430	± 60	7.02	6.3 (≥ 5)	$E_v = 1000$ lx, Std. Light A, $V_R = 5$ V	0.1 (≤ 5)	$V_R = 5$ V	400 ... 900	Q65110A2673	53


Package Gehäuse	Type Bezeichnung	Half angle φ [°]	Radiant sensitive area typ. [mm ²]	Measurement cond.		V_{CE} max. [V]	$\lambda_{10\%}$ typ. [nm]	Ordering Code Bestellnummer	Package Fig. Bauteilzeichnung
				I_{PCE} [μA]	Measurement cond.				

Phototransistor Ambient Light Sensors | Fototransistor, Umgebungslichtsensor

 T 1	SFH 3310	± 75	0.29	2.5 ... 8	$\lambda = 560$ nm, $E_e = 10$ μW/cm ² , $V_{CE} = 5$ V	5.5	350 ... 970	Q65110A5343	15
	SFH 3410	± 60	0.29	3.2 ... 25	$E_v = 20$ lx, Std. Light A, $V_{CE} = 5$ V	5.5	350 ... 970	Q65110A1211	54
	SFH 3410-1/2			3.2 ... 10				Q65110A2653	
	SFH 3410-2/3			5 ... 16				Q65110A2654	
	SFH 3410-3/4			8 ... 25				Q65110A2655	
	SFH 3710	± 60	0.29	2.5 ... 12.5	$\lambda = 560$ nm, $E_e = 10$ μW/cm ² , $V_{CE} = 5$ V	5.5	350 ... 950	Q65110A3107	55
	SFH 3710-2/3			2.5 ... 8				Q65110A3512	
	SFH 3710-3/4			4 ... 12.5				Q65110A3511	

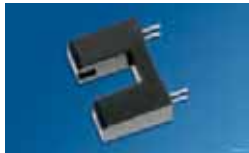
Package Gehäuse	Type Bezeichnung	Half angle φ [°]	Radiant sensitive area typ. [mm ²]	Measurement Conditions		$\lambda_{10\%}$ typ. [nm]	Ordering Code Bestellnummer	Package Fig. Bauteilzeichnung
				I_{OUT} [mA]	Measurement Conditions			

High Accuracy Ambient Light Sensors | Hochgenauer Umgebungslichtsensor

	SFH 5711-2/3	± 60	0.16	0.027 ... 0.032	$E_v = 1000$ lx Std. Light A		475 ... 650	Q65110A4513	56
---	--------------	------	------	-----------------	------------------------------	--	-------------	-------------	----

Summary of Types | Typenübersicht

Slotted Interrupters | Gabellichtschranken



Interrupter
SFH 9315
Page / Seite: 132



Interrupter
SFH 9500
Page / Seite: 132

SMT Reflective Sensors | SMT Reflexlichtschranken

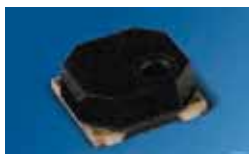


SMT RLS
SFH 9201 / SFH 9202
Page / Seite: 132



SMT RLS
SFH 9240
Page / Seite: 132

SMT Orientation Sensor | SMT Kippsensor





COB
SFH 7710
Page / Seite: 133

SMT Proximity Sensor | SMT Näherungssensor





COB
SFH 7740 / SFH 7741 / SFH 7743
Page / Seite: 133


Slotted Interrupters | Gabellichtschranken

Package Gehäuse	Type Bezeichnung	Features	Slot Width [mm]	Aperture slit width on emitter / sensor side typ [mm]	$I_{PCE\ min}$ [μA]	Measurement cond.	I_{CE0} [nA]	Measurement cond.	Ordering Code Bestellnummer	Package Fig. Bauteilzeichnung
 Interrupter	SFH 9315	horizontal slits	5	0.5 / 0.5	700	$I_F = 20\ mA, V_{CE} = 5\ V$	$2 (\leq 50)$	$V_{CE} = 20\ V, E = 0$	Q65110A1216	57
 Interrupter	SFH 9500	with vertical aperture slits, SMT version, suitable for reflow soldering, locating pins	5	0.5 / 0.5	1000	$I_F = 20\ mA, V_{CE} = 5\ V$	$2 (\leq 50)$	$V_{CE} = 20\ V$	Q65110A3108	58


SMT Reflective Sensors | SMT Reflexlichtschranken

Package Gehäuse	Type Bezeichnung	I_{PCE} [μA]	Measurement cond.	I_{CE0} [nA]	Measurement cond.	$V_{CE\ max.}$ [V]	V_F [V]	Measurement cond.	Ordering Code Bestellnummer	Package Fig. Bauteilzeichnung
 SMT RLS	SFH 9201	250 ... 2000	Kodak neutral white testcard with 90% reflection; $I_F = 10\ mA, V_{CE} = 5\ V, d = 1\ mm$	$3 (\leq 200)$	$V_{CE} = 20\ V, E = 0$	16	$1.25 (\leq 1.65)$	$I_F = 50\ mA$	Q65110A2708	59
	SFH 9201-2/3	400 ... 1250							Q65110A2698	
	SFH 9201-3/4	630 ... 2000							Q65110A2716	
 SMT RLS	SFH 9202	63 ... 800	Kodak neutral white testcard with 90% reflection; $I_F = 10\ mA, V_{CE} = 5\ V, d = 1\ mm$	$5 (\leq 50)$	$V_{CE} = 20\ V$	16	$1.25 (\leq 1.65)$	$I_F = 50\ mA$	Q65110A2712	59
	SFH 9202-2/3	63 ... 200							Q65110A2705	
	SFH 9202-3/4	100 ... 320							Q65110A2710	
	SFH 9202-4/5	160 ... 500							Q65110A2709	
	SFH 9202-5/6	250 ... 800							Q65110A2711	




Schmitt Trigger

Package Gehäuse	Type Bezeichnung	Features	V_{CC} [V]	$I_{F,on}$ [mA]	Measurement cond.	$E_{e,off} / E_{e,on}$ [-]	Ordering Code Bestellnummer	Package Fig. Bauteilzeichnung
 Schmitt Trigger	SFH 9240	Schmitt Trigger Output, active "low"	4 ... 18	$3 (\leq 10)$	Kodak neutral white testcard with 90% reflection; $V_{CC} = 5\ V, d = 1\ mm$	0.6 (0.5 ... 0.9)	Q65110A2714	59

SMT Orientation Sensor | SMT Kippsensor

Package Gehäuse	Type Bezeichnung	V _{out} at horizontal position	V _{out} at vertical position	V _{dd} [V]	I _{DD} typ [mA]	Ordering Code Bestellnummer	Package Fig. Bauteilzeichnung
 COB	SFH 7710	low	high	2.3 ... 3.6	0.023	Q65110A4407	60

SMT Proximity Sensor | SMT Näherungssensor

Package Gehäuse	Type Bezeichnung	Working distance typ [mm]	V _{dd} [V]	max. Sink Current [mA]	Ordering Code Bestellnummer	Package Fig. Bauteilzeichnung
 COB	SFH 7740	0.5 ... 4	2.3 ... 3.6	10	Q65110A6668	61
 COB	SFH 7741	0.5 ... 20	2.3 ... 3.6	10	Q65110A7073	61
 COB	SFH 7743	0.5 ... 150	2.3 ... 3.6	10	Q65110A8870	61

Summary of Types | Typenübersicht

SMT Emitters | SMT Emitter



SmartLED 0603
SFH 4010 / SFH 4050 / SFH 4080
Page / Seite: 142



TOPLED
SFH 420 / SFH 421 / SFH 4211 / SFH 4243 / SFH 4252 / SFH 4253 / SFH 4283
Page / Seite: 142



TOPLED RG
SFH 4281
Page / Seite: 142



Power TOPLED
SFH 4250
Page / Seite: 143



TOPLED
SFH 4257 / SFH 4271 / SFH 4272 / SFH 4273
Page / Seite: 143



Mini TOPLED
SFH 4247
Page / Seite: 143



TOPLED with Lens
SFH 4246 / SFH 4289
Page / Seite: 144



Power TOPLED with Lens
SFH 4258 / SFH 4259 / SFH 4248 / SFH 4249
Page / Seite: 144



SIDELED
SFH 425 / SFH 426 / SFH 4244 / SFH 4255
Page / Seite: 144



Multi TOPLED
SFH 331 / SFH 7222 / SFH 7221 / SFH 7225
Page / Seite: 145



MIDLED
SFH 4641 / SFH 4650 / SFH 4651 / SFH 4680
Page / Seite: 141



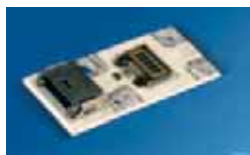
MIDLED
SFH 4646 / SFH 4655 / SFH 4656 / SFH 4685
Page / Seite: 141



Golden DRAGON
SFH 4230 / SFH 4231
Page / Seite: 141



Platinum DRAGON
SFH 4232
Page / Seite: 141



OSTAR Observation
SFH 4730
Page / Seite: 148



OSTAR Observation
SFH 4740
Page / Seite: 148



OSTAR Lighting
SFH 4750 / SFH 4751
Page / Seite: 148

Summary of Types | Typenübersicht

SMT Emitters | SMT Emitter



SMR
SFH 4510 / SFH 4542
Page / Seite: 147



SMR
SFH 4515 / SFH 4543
Page / Seite: 147



SMR
SFH 4580
Page / Seite: 147



SMR
SFH 4585
Page / Seite: 147

High power emitters 850 nm | Hochleistungsemitter 850 nm



SmartLED 0603
SFH 4050
Page / Seite: 142



Power TOPLED
SFH 4250
Page / Seite: 143



TOPLED
SFH 4252
Page / Seite: 142



TOPLED
SFH 4257
Page / Seite: 143



Power TOPLED with Lens
SFH 4258 / SFH 4259
Page / Seite: 144



SIDELED
SFH 4255
Page / Seite: 144



MIDLED
SFH 4641 / SFH 4650 / SFH 4651 /
SFH 4680
Page / Seite: 141



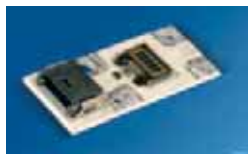
MIDLED
SFH 4646 / SFH 4655 / SFH 4656 /
SFH 4685
Page / Seite: 141



Golden DRAGON
SFH 4230
Page / Seite: 141



Platinum DRAGON
SFH 4232
Page / Seite: 141



OSTAR Observation
SFH 4730
Page / Seite: 148



OSTAR Observation
SFH 4740
Page / Seite: 148



OSTAR Lighting
SFH 4750
Page / Seite: 148

Summary of Types | Typenübersicht

High power emitters 850 nm | Hochleistungsemitter 850 nm



T 1
SFH 4350
Page / Seite: 150



T 1 3/4
SFH 4550
Page / Seite: 150



T 1 3/4
SFH 4555
Page / Seite: 150



T 1 3/4
SFH 4556
Page / Seite: 150



TO18
SFH 4850 E7800
Page / Seite: 150

High power emitters 940 nm | Hochleistungsemitter 940 nm



TOPLED
SFH 4243
Page / Seite: 143



TOPLED with Lens
SFH 4246
Page / Seite: 144



SIDELED
SFH 4244
Page / Seite: 144



Mini TOPLED
SFH 4247
Page / Seite: 143



MIDLED
SFH 4641
Page / Seite: 141



MIDLED
SFH 4646
Page / Seite: 141



Golden DRAGON
SFH 4231
Page / Seite: 141



OSTAR Lighting
SFH 4751
Page / Seite: 148



SMR
SFH 4542
Page / Seite: 147



SMR
SFH 4543
Page / Seite: 147



T 1
SFH 4341
Page / Seite: 153



T 1 3/4
SFH 4546
Page / Seite: 153

Summary of Types | Typenübersicht

Emitters in plastic package | Emitter im Plastikgehäuse



T 1
SFH 4350
Page / Seite: 150



T 1
SFH 487
Page / Seite: 154



T 1
SFH 487 P
Page / Seite: 154



T 1
SFH 4341
Page / Seite: 153



T 1
SFH 409
Page / Seite: 154



T 1 3/4
SFH 4550
Page / Seite: 150



T 1 3/4
SFH 484 / SFH 485 / SFH 486
Page / Seite: 154



T 1 3/4
SFH 485 P
Page / Seite: 155



T 1 3/4
LD 274
Page / Seite: 155



T 1 3/4
LD 271
Page / Seite: 155



T 1 3/4
SFH 415 / SFH 4511 / SFH 4546 /
SFH 4556
Page / Seite: 155



T 1 3/4
SFH 4545 / SFH 4555
Page / Seite: 153



Sidelooker
IRL 80 A / IRL 81 A
Page / Seite: 156



Sidelooker
SFH 4110
Page / Seite: 156



Array
LD 261
Page / Seite: 156



Array
LD 263
Page / Seite: 156



Array
SFH 405
Page / Seite: 156

Summary of Types | Typenübersicht

Emitters in metal package | Emitter im Metallgehäuse



TO18
SFH 464 / SFH 483 / LD 242 / SFH 4850
Page / Seite: 157



TO18
SFH 4860
Page / Seite: 157



TO18
SFH 400 / SFH 480
Page / Seite: 158



TO18
SFH 482
Page / Seite: 157



TO18
SFH 4881 / SFH 4811
Page / Seite: 157



TO18
SFH 4883 / SFH 4813
Page / Seite: 157






TO18
SFH 401
Page / Seite: 158

SMT Emitters | SMT Emmitter



Package Gehäuse	Type Bezeichnung	λ_{peak} typ [nm]	Half angle φ [°]	Φ_e typ	Measurement cond.	V_F	Measurement cond.	t_r, t_f typ [ns]	Ordering Code Bestellnummer	Package Fig. Bauteilzeichnung
				[mW]		[V]				

DRAGON Family

 Golden DRAGON	SFH 4230	850	± 60	440	$I_F = 1 \text{ A}, t_p = 10 \text{ ms}$	1.8 (≤ 2.4)	$I_F = 1 \text{ A}, t_p = 100 \mu\text{s}$	10	Q65110A4023	62
 Golden DRAGON	SFH 4231	940	± 60	500	$I_F = 1 \text{ A}, t_p = 10 \text{ ms}$	1.8 (≤ 2.4)	$I_F = 1 \text{ A}, t_p = 100 \mu\text{s}$	20	Q65110A4808	62
 Platinum DRAGON	SFH 4232	860	± 60	530	$I_F = 1 \text{ A}, t_p = 10 \text{ ms}$	1.5 (≤ 1.8)	$I_F = 1 \text{ A}, t_p = 100 \mu\text{s}$	20	Q65110A8754	63

Package Gehäuse	Type Bezeichnung	λ_{peak} typ [nm]	Half angle φ [°]	I_e	Measurement cond.	V_F	Measurement cond.	t_r, t_f typ [ns]	Ordering Code Bestellnummer	Package Fig. Bauteilzeichnung
				[mW/sr]		[V]				




MIDLED

 MIDLED	SFH 4641	850	± 15	50 (≥ 16)	$I_F = 70 \text{ mA}, t_p = 20 \text{ ms}$	1.5 (≤ 1.9)	$I_F = 50 \text{ mA}, t_p = 20 \text{ ms}$	11	Q65110A8098	10
	SFH 4650		± 20	40 (≥ 16)	$I_F = 100 \text{ mA}, t_p = 20 \text{ ms}$	1.5 (≤ 1.8)	$I_F = 100 \text{ mA}, t_p = 20 \text{ ms}$	12	Q65110A1572	
	SFH 4651		± 15	50 (≥ 16)	$I_F = 70 \text{ mA}, t_p = 20 \text{ ms}$	1.5 (≤ 1.9)	$I_F = 50 \text{ mA}, t_p = 20 \text{ ms}$	10	Q65110A8396	
	SFH 4680	± 20	20 (≥ 10)	$I_F = 100 \text{ mA}, t_p = 20 \text{ ms}$	1.5 (≤ 1.8)	$I_F = 100 \text{ mA}, t_p = 20 \text{ ms}$	500	Q65110A1570		
 MIDLED	SFH 4646	850	± 15	50 (≥ 16)	$I_F = 70 \text{ mA}, t_p = 20 \text{ ms}$	1.5 (≤ 1.9)	$I_F = 50 \text{ mA}, t_p = 20 \text{ ms}$	11	Q65110A8099	10
	SFH 4655		± 20	40 (≥ 16)	$I_F = 100 \text{ mA}, t_p = 20 \text{ ms}$	1.5 (≤ 1.8)	$I_F = 100 \text{ mA}, t_p = 20 \text{ ms}$	12	Q65110A1569	
	SFH 4656		± 15	50 (≥ 16)	$I_F = 70 \text{ mA}, t_p = 20 \text{ ms}$	1.5 (≤ 1.9)	$I_F = 50 \text{ mA}, t_p = 20 \text{ ms}$	10	Q65110A8395	
	SFH 4685	± 20	20 (≥ 10)	$I_F = 100 \text{ mA}, t_p = 20 \text{ ms}$	1.5 (≤ 1.8)	$I_F = 100 \text{ mA}, t_p = 20 \text{ ms}$	500	Q65110A1571		

Infrared Emitters | IR-Lumineszenzdioden






Package Gehäuse	Type Bezeichnung	λ_{peak} typ [nm]	Half angle φ [°]	I_e	Measurement cond.	V_F	Measurement cond.	t_r, t_f typ [ns]	Ordering Code Bestellnummer	Package Fig. Bauteilzeichnung
				[mW/sr]		[V]				

SmartLED







 SmartLED 0603	SFH 4010	950	± 80	$2.5 (\geq 1)$	$I_F = 100$ mA, $t_p = 20$ ms	$1.3 (\leq 1.5)$	$I_F = 100$ mA, $t_p = 20$ ms	500	Q65110A6459	1
 SmartLED	SFH 4080	880	± 80	$2.5 (\geq 1)$	$I_F = 100$ mA, $t_p = 20$ ms	$1.5 (\leq 1.8)$	$I_F = 100$ mA, $t_p = 20$ ms	500	Q65110A6461	64
 SmartLED 0603	SFH 4050	850	± 80	$7 (\geq 4)$	$I_F = 100$ mA, $t_p = 20$ ms	$1.5 (\leq 1.8)$	$I_F = 100$ mA, $t_p = 20$ ms	12	Q65110A6460	64

Package Gehäuse	Type Bezeichnung	λ_{peak} typ [nm]	Half angle φ [°]	I_e	Measurement cond.	V_F	Measurement cond.	t_r, t_f typ [ns]	Ordering Code Bestellnummer	Package Fig. Bauteilzeichnung
				[mW/sr]		[V]				

TOPLED Family | TOPLED Familie

 TOPLED	SFH 420	950	± 60	$5 (\geq 2.5)$	$I_F = 100$ mA, $t_p = 20$ ms	$1.3 (\leq 1.5)$	$I_F = 100$ mA, $t_p = 20$ ms	500	Q65110A2473	65
 TOPLED	SFH 421	880	± 60	$7 (\geq 4)$	$I_F = 100$ mA, $t_p = 20$ ms	$1.5 (\leq 1.8)$	$I_F = 100$ mA, $t_p = 20$ ms	500	Q65110A1218	65
 TOPLED	SFH 4252	860	± 60	$16 (\geq 10)$	$I_F = 100$ mA, $t_p = 20$ ms	$1.5 (\leq 1.8)$	$I_F = 100$ mA, $t_p = 20$ ms	12	Q65110A2468	65
 TOPLED	SFH 4211	950	± 60	$6 (\geq 2.5)$	$I_F = 100$ mA, $t_p = 20$ ms	$1.3 (\leq 1.5)$	$I_F = 100$ mA, $t_p = 20$ ms	500	Q65110A2515	65
 TOPLED RG	SFH 4281	880	± 60	$6 (4 \dots 12.5)$	$I_F = 100$ mA, $t_p = 20$ ms	$1.5 (\leq 1.8)$	$I_F = 100$ mA, $t_p = 20$ ms	500	Q65110A2516	66





Infrared Emitters | IR-Lumineszenzdioden

Package Gehäuse	Type Bezeichnung	λ_{peak} typ [nm]	Half angle φ [°]	I_e	Measurement cond.	V_F	Measurement cond.	t_r, t_f typ [ns]	Ordering Code Bestellnummer	Package Fig. Bauteilzeichnung
				[mW/sr]	$I_F = 100$ mA, $t_p = 20$ ms	[V]	$I_F = 100$ mA, $t_p = 20$ ms			
 Power TOPLED	SFH 4250	860	± 60	15 (≥ 10)	$I_F = 100$ mA, $t_p = 20$ ms	1.5 (≤ 1.8)	$I_F = 100$ mA, $t_p = 20$ ms	12	Q65110A2465	67
 TOPLED	SFH 4257	860	± 60	7 (6.3 ... 12.5)	$I_F = 100$ mA, $t_p = 20$ ms	1.5 (≤ 1.8)	$I_F = 100$ mA, $t_p = 20$ ms	12	Q65110A2466	68
	SFH 4271	880		1 ... 3.2	$I_F = 100$ mA, $t_p = 20$ ms	1.5 (≤ 1.8)	$I_F = 100$ mA, $t_p = 20$ ms	500	Q65110A2521	
	SFH 4272	645		0.35 (≥ 0.16)	$I_F = 20$ mA, $t_p = 20$ ms	2 (≤ 2.5)	$I_F = 20$ mA, $t_p = 20$ ms		Q65110A2522	65
	SFH 4273	660		1 (≥ 0.63)	$I_F = 50$ mA, $t_p = 20$ ms	2.1 (≤ 2.8)	$I_F = 50$ mA, $t_p = 20$ ms	100	Q65110A2523	
 Mini TOPLED	SFH 4247	950	± 65	8 (≥ 4)	$I_F = 70$ mA, $t_p = 20$ ms	1.5 (≤ 1.9)	$I_F = 50$ mA, $t_p = 20$ ms	11	Q65110A8091	69
 TOPLED	SFH 4243	950	± 60	11 (≥ 4)	$I_F = 70$ mA, $t_p = 20$ ms	1.5 (≤ 1.9)	$I_F = 50$ mA, $t_p = 20$ ms	11	Q65110A7515	70
 TOPLED	SFH 4253	860	± 60	11 (≥ 4)	$I_F = 70$ mA, $t_p = 20$ ms	1.5 (≤ 1.9)	$I_F = 50$ mA, $t_p = 20$ ms	10	Q65110A6657	70
 TOPLED	SFH 4283	880	± 60	7 (≥ 4)	$I_F = 100$ mA, $t_p = 20$ ms	1.5 (≤ 1.8)	$I_F = 100$ mA, $t_p = 20$ ms	600	Q65110A2517	68

Infrared Emitters | IR-Lumineszenzdioden



Package Gehäuse	Type Bezeichnung	λ_{peak} typ [nm]	Half angle φ [°]	Measurement cond.		Measurement cond.		t_r, t_f typ [ns]	Ordering Code Bestellnummer	Package Fig. Bauteilzeichnung
				I_e [mW/sr]	V_F [V]	V_F [V]	Measurement cond.			

TOPLED Family | TOPLED Familie

 TOPLED with Lens	SFH 4246	950	± 25	$35 (\geq 10)$	$I_F = 70$ mA, $t_p = 20$ ms	$1.5 (\leq 1.9)$	$I_F = 50$ mA, $t_p = 20$ ms	11	Q65110A8100	71
 TOPLED with Lens	SFH 4289	880	± 25	$17 (\geq 6.3)$	$I_F = 100$ mA, $t_p = 20$ ms	$1.5 (\leq 1.8)$	$I_F = 100$ mA, $t_p = 20$ ms	500	Q65110A2519	3
 Power TOPLED w. Lens	SFH 4259	860	± 25	$55 (\geq 25)$	$I_F = 100$ mA, $t_p = 20$ ms	$1.5 (\leq 1.8)$	$I_F = 100$ mA, $t_p = 20$ ms	12	Q65110A2464	72
 Power TOPLED w. Lens	SFH 4258	860	± 15	$90 (\geq 40)$	$I_F = 100$ mA, $t_p = 20$ ms	$1.5 (\leq 1.8)$	$I_F = 100$ mA, $t_p = 20$ ms	12	Q65110A2975	73

Package Gehäuse	Type Bezeichnung	λ_{peak} typ [nm]	Half angle φ [°]	Measurement cond.		Measurement cond.		t_r, t_f typ [ns]	Ordering Code Bestellnummer	Package Fig. Bauteilzeichnung
				I_e [mW/sr]	V_F [V]	V_F [V]	Measurement cond.			


SIDELED Family | SIDELED Familie

 SIDELED	SFH 425	950	± 60	$5 (\geq 2.5)$	$I_F = 100$ mA, $t_p = 20$ ms	$1.3 (\leq 1.5)$	$I_F = 100$ mA, $t_p = 20$ ms	500	Q65110A2463	74
	SFH 426	880		$7 (\geq 4)$		$1.5 (\leq 1.8)$			Q65110A2512	
	SFH 4255	850		$15 (\geq 10)$		12			Q65110A2467	
 SIDELED	SFH 4244	950	± 60	$11 (\geq 4)$	$I_F = 70$ mA, $t_p = 20$ ms	$1.5 (\leq 1.9)$	$I_F = 50$ mA, $t_p = 20$ ms	11	Q65110A7516	75

Infrared Emitters | IR-Lumineszenzdioden


Package Gehäuse	Type Bezeichnung	λ_{peak} typ [nm]	Half angle φ [°]	I_e	Measurement cond.	V_F	Measurement cond.	t_r, t_f typ [ns]	Ordering Code Bestellnummer	Package Fig. Bauteilzeichnung
				[mW/sr]		[V]				

2 Emitters in Multi TOPLED Package | 2 Sender in Multi TOPLED Package

 Multi TOPLED	SFH 7222	880	± 60	≥ 4	$I_F = 100$ mA, $t_p = 20$ ms, $\Omega = 0.01$ sr	1.5 (≤ 1.8)	$I_F = 100$ mA, $t_p = 20$ ms	500	Q62702P5095	76
		565				2.0 (≤ 2.6)	$I_F = 10$ mA, $t_p = 20$ ms			

Package Gehäuse	Type Bezeichnung	Emitter Sender						Ordering Code Bestellnummer	Package Fig. Bauteilzeichnung
		λ_{peak} typ [nm]	Half angle φ [°]	I_V [mcd]	Measurement cond.	V_F [V]	Measurement cond.		

Detector/Emitter in Multi TOPLED package | Empfänger/Sender im Multi TOPLED Gehäuse


 Multi TOPLED	SFH 331-JK	635	± 60	6 (4 ... 12.5)	$I_F = 10$ mA	2 (≤ 2.6)	$I_F = 10$ mA	Q65110A2821	11
		Detector Empfänger							

Radiant sensitive area typ. [mm ²]	I_{PCE} [μ A]	Measurement cond.	V_{CE} max. [V]	$\lambda_{10\%}$ typ. [nm]	t_r, t_f typ [μ s]
0.038	≥ 16	$E_e = 0.1$ mW/ cm ² , $V_{CE} = 5$ V	35	440 ... 1150	7

Infrared Emitters | IR-Lumineszenzdioden


Package Gehäuse	Type Bezeichnung	Emitter Sender						Ordering Code Bestellnummer	Package Fig. Bauteilzeichnung
		λ_{peak} typ [nm]	Half angle φ [°]	I_e [mW/sr]	Measurement cond.	V_F [V]	Measurement cond.		

Detector/Emitter in Multi TOPLED package | Empfänger/Sender im Multi TOPLED Gehäuse







 Multi TOPLED	SFH 7221	880	± 60	≥ 4	$I_F = 100 \text{ mA}$, $t_p = 20 \text{ ms}$	$1.5 (\leq 1.8)$	$I_F = 100 \text{ mA}$, $t_p = 20 \text{ ms}$	Q65110A2741	12
	Detector Empfänger								
	Radiant sensitive area typ. [mm ²]	I_{PCE} [μA]	Measurement cond.	V_{CE} max. [V]	$\lambda_{10\%}$ typ. [nm]	t_r, t_f typ [μs]			
0.038	≥ 16	$E_e = 0.1 \text{ mW/cm}^2$, $V_{CE} = 5 \text{ V}$	35	440 ... 1150	7				

Package Gehäuse	Type Bezeichnung	Emitter Sender						Ordering Code Bestellnummer	Package Fig. Bauteilzeichnung
		λ_{peak} typ [nm]	Half angle φ [°]	I_v [mcd]	Measurement cond.	V_F [V]	Measurement cond.		




Detector/Emitter in Multi TOPLED package | Empfänger/Sender im Multi TOPLED Gehäuse





 Multi TOPLED	SFH 7225	591	± 60	63 ... 200	$I_F = 20 \text{ mA}$	$2 (\leq 2.6)$	$I_F = 20 \text{ mA}$, $t_p = 20 \text{ ms}$	Q65110A2743	11
	Detector Empfänger								
	Radiant sensitive area typ. [mm ²]	I_{CE} typ [μA]	Measurement cond.	V_{CE} max. [V]	Crosstalk $I_{PCE, \text{typ}}$ [mA]	Measurement Conditions			
0.038	650	Std. Light A, $E_v = 1000 \text{ lx}$, $V_{CE} = 5 \text{ V}$	35	0.5 ... 5	$I_F = 20 \text{ mA}$, $V_{CE} = 5 \text{ V}$				

Infrared Emitters | IR-Lumineszenzdioden










Package Gehäuse	Type Bezeichnung	λ_{peak} typ [nm]	Half angle φ [°]	I_e	Measurement cond.	V_F	Measurement cond.	t_r, t_f typ [ns]	Ordering Code Bestellnummer	Package Fig. Bauteilzeichnung
				[mW/sr]		[V]				
SMR										
 T1 3/4 SMR	SFH 4510	950	± 14	50 (≥ 25)	$I_F = 100$ mA, $t_p = 20$ ms	1.3 (≤ 1.5)	$I_F = 100$ mA, $t_p = 20$ ms	500	Q65110A2630	18
 T1 3/4 SMR	SFH 4542	950	± 10	150 (≥ 63)	$I_F = 100$ mA, $t_p = 20$ ms	1.5 (≤ 1.8)	$I_F = 100$ mA, $t_p = 20$ ms	11	Q65110A8093	77
 SMR	SFH 4543	950	± 10	150 (≥ 63)	$I_F = 100$ mA, $t_p = 20$ ms	1.5 (≤ 1.8)	$I_F = 100$ mA, $t_p = 20$ ms	11	Q65110A8094	78
 T1 3/4 SMR	SFH 4515	950	± 14	50 (≥ 25)	$I_F = 100$ mA, $t_p = 20$ ms	1.3 (≤ 1.5)	$I_F = 100$ mA, $t_p = 20$ ms	500	Q65110A2633	32
 T1 3/4 SMR	SFH 4580	880	± 15	55 (≥ 25)	$I_F = 100$ mA, $t_p = 20$ ms	1.5 (≤ 1.8)	$I_F = 100$ mA, $t_p = 20$ ms	600	Q65110A2632	77
 T1 3/4 SMR	SFH 4585	880	± 15	55 (≥ 25)	$I_F = 100$ mA, $t_p = 20$ ms	1.5 (≤ 1.8)	$I_F = 100$ mA, $t_p = 20$ ms	600	Q65110A2631	78

High power emitters for illumination | Hochleistungsemitter für Beleuchtung









Package Gehäuse	Type Bezeichnung	λ_{peak} (typ) / $\lambda_{\text{centroid}}$ (typ) [nm]	Half angle φ [°]	Φ_e typ	Measurement cond.	V_F	Measurement cond.	t_r, t_f typ [ns]	Ordering Code Bestellnummer	Package Fig. Bauteilzeichnung
				[mW]		[V]				
 Golden DRAGON	SFH 4230	860 / 850	± 60	440	$I_F = 1 \text{ A}, t_p = 10 \text{ ms}$	1.8 (≤ 2.4)	$I_F = 1 \text{ A}, t_p = 100 \mu\text{s}$	10	Q65110A4023	62
 Golden DRAGON	SFH 4231	950 / 935	± 60	500	$I_F = 1 \text{ A}, t_p = 10 \text{ ms}$	1.8 (≤ 2.4)	$I_F = 1 \text{ A}, t_p = 100 \mu\text{s}$	20	Q65110A4808	62
 Platinum DRAGON	SFH 4232	860 / 850	± 60	530	$I_F = 1 \text{ A}, t_p = 10 \text{ ms}$	1.5 (≤ 1.8)	$I_F = 1 \text{ A}, t_p = 100 \mu\text{s}$	20	Q65110A8754	63

Package Gehäuse	Type Bezeichnung	λ_{peak} (typ) / $\lambda_{\text{centroid}}$ (typ) [nm]	Half angle φ [°]	I_e typ	Measurement cond.	V_F	Measurement cond.	t_r, t_f typ [ns]	Ordering Code Bestellnummer	Package Fig. Bauteilzeichnung
				[mW / sr]		[V]				
 OSTAR Observation	SFH 4730	860 / 850	± 60	1000	$I_F = 1 \text{ A}, t_p = 20 \text{ ms}$	18 (≤ 24)	$I_F = 1 \text{ A}, t_p = 100 \mu\text{s}$	10	Q65110A5452	79
 OSTAR Observation	SFH 4740	860 / 850	± 60	1200	$I_F = 1 \text{ A}, t_p = 20 \text{ ms}$	18 (≤ 24)	$I_F = 1 \text{ A}, t_p = 100 \mu\text{s}$	10	Q65110A6190	80
 OSTAR Lighting	SFH 4750	860 / 850	± 75	1000	$I_F = 100 \text{ mA}, t_p = 20 \text{ ms}$	1.5 (≤ 1.8)	$I_F = 1 \text{ A}, t_p = 100 \mu\text{s}$	20	Q65110A8280	81
 OSTAR Lighting	SFH 4751	950 / 940	± 75		$I_F = 100 \text{ mA}, t_p = 20 \text{ ms}$	10.6 (≤ 14.5)	$I_F = 1 \text{ A}, t_p = 100 \mu\text{s}$	20	Q65110A8867	81



High power emitters 850 nm | Hochleistungsemitter 850 nm

Package Gehäuse	Type Bezeichnung	λ_{peak} (typ) / $\lambda_{\text{centroid}}$ (typ) [nm]	Half angle φ [°]	Measurement cond.		V_F [V]	Measurement cond.	t_r, t_f typ [ns]	Ordering Code Bestellnummer	Package Fig. Bauteilzeichnung
				I_e [mW/sr]						
 SmartLED 0603	SFH 4050	860 / 850	± 80	7 (≥ 4)	$I_F=100$ mA, $t_p=20$ ms	1.5 (≤ 1.8)	$I_F = 100$ mA, $t_p = 20$ ms	12	Q65110A6460	64
 Golden DRAGON	SFH 4230	860 / 850	± 60	170	$I_F = 1$ A, $t_p = 10$ ms	1.8 (≤ 2.4)	$I_F = 1$ A, $t_p = 100$ μs	10	Q65110A4023	62
 Platinum DRAGON	SFH 4232	860 / 850	± 60	200	$I_F = 1$ A, $t_p = 10$ ms	1.5 (≤ 1.8)	$I_F = 1$ A, $t_p = 100$ μs	20	Q65110A8754	63
 Power TOPLED	SFH 4250	860 / 850	± 60	15 (≥ 10)	$I_F=100$ mA, $t_p=20$ ms	1.5 (≤ 1.8)	$I_F = 100$ mA, $t_p = 20$ ms	12	Q65110A2465	67
 TOPLED	SFH 4253	860 / 850	± 60	11 (≥ 4)	$I_F = 70$ mA, $t_p = 20$ ms	1.5 (≤ 1.9)	$I_F = 50$ mA, $t_p = 20$ ms	10	Q65110A6657	70
 TOPLED	SFH 4257	860 / 850	± 60	7 (6.3 ... 12.5)	$I_F=100$ mA, $t_p=20$ ms	1.5 (≤ 1.8)	$I_F = 100$ mA, $t_p = 20$ ms	12	Q65110A2466	68
 Power TOPLED w. Lens	SFH 4258	860 / 850	± 15	90 (≥ 40)	$I_F=100$ mA, $t_p=20$ ms	1.5 (≤ 1.8)	$I_F = 100$ mA, $t_p = 20$ ms	12	Q65110A2975	73
 Power TOPLED w. Lens	SFH 4259	860 / 850	± 25	55 (≥ 25)	$I_F=100$ mA, $t_p=20$ ms	1.5 (≤ 1.8)	$I_F = 100$ mA, $t_p = 20$ ms	12	Q65110A2464	72
 SIDELED	SFH 4255	860 / 850	± 60	15 (≥ 10)	$I_F=100$ mA, $t_p=20$ ms	1.5 (≤ 1.8)	$I_F = 100$ mA, $t_p = 20$ ms	12	Q65110A2467	74










Infrared Emitters | IR-Lumineszenzdioden

Package Gehäuse	Type Bezeichnung	λ_{peak} (typ) / $\lambda_{\text{centroid}}$ (typ) [nm]	Half angle φ [°]	Measurement		Measurement		t_r, t_f typ [ns]	Ordering Code Bestellnummer	Package Fig. Bauteilzeich- nung
				I_e [mW/sr]	cond. [mW/sr]	V_F [V]	cond. [V]			
 MIDLED	SFH 4650	860 / 850	± 20	40 (≥ 16)	$I_F=100$ mA, $t_p=20$ ms	1.5 (≤ 1.8)	$I_F = 100$ mA, $t_p = 20$ ms	12	Q65110A1572	10
	SFH 4651	850 / 850	± 15	50 (≥ 16)	$I_F = 70$ mA, $t_p = 20$ ms	1.5 (≤ 1.9)	$I_F = 50$ mA, $t_p = 20$ ms	10	Q65110A8396	
 MIDLED	SFH 4655	860 / 850	± 20	40 (≥ 16)	$I_F=100$ mA, $t_p=20$ ms	1.5 (≤ 1.8)	$I_F = 100$ mA, $t_p = 20$ ms	12	Q65110A1569	10
	SFH 4656	850 / 850	± 15	50 (≥ 16)	$I_F = 70$ mA, $t_p = 20$ ms	1.5 (≤ 1.9)	$I_F = 50$ mA, $t_p = 20$ ms	10	Q65110A8395	
 T 1 3/4	SFH 4550	860 / 850	± 3	700 (≥ 400)	$I_F=100$ mA, $t_p=20$ ms	1.5 (≤ 1.8)	$I_F = 100$ mA, $t_p = 20$ ms	12	Q65110A1772	82
 T 1 3/4	SFH 4555	860 / 850	± 20	130 (≥ 40)	$I_F=100$ mA, $t_p=20$ ms	1.5 (≤ 1.8)	$I_F = 100$ mA, $t_p = 20$ ms	12	Q65110A7341	86
 T 1 3/4	SFH 4556	860 / 850	± 20	130 (≥ 40)	$I_F=100$ mA, $t_p=20$ ms	1.5 (≤ 1.8)	$I_F = 100$ mA, $t_p = 20$ ms	12	Q65110A6087	83
 T 1	SFH 4350	860 / 850	± 13	70 (≥ 40)	$I_F=100$ mA, $t_p=20$ ms	1.5 (≤ 1.8)	$I_F = 100$ mA, $t_p = 20$ ms	12	Q65110A2091	84
 TO18	SFH 4850 E7800	860 / 850	± 23	7 (≥ 4)	$I_F=100$ mA, $t_p=20$ ms	1.5 (≤ 1.8)	$I_F = 100$ mA, $t_p = 20$ ms	12	Q65110A2093	85
 OSTAR Obser- vation	SFH 4730	860 / 850	± 60	1000	$I_F = 1$ A, t_p $= 20$ ms	18 (≤ 24)	$I_F = 1$ A, t_p $= 100$ μ s	10	Q65110A5452	79





Infrared Emitters | IR-Lumineszenzdioden

Package Gehäuse	Type Bezeichnung	λ_{peak} (typ) / $\lambda_{\text{centroid}}$ (typ) [nm]	Half angle φ [°]	Measurement cond.		Measurement cond.		t_r, t_f typ [ns]	Ordering Code Bestellnummer	Package Fig. Bauteilzeichnung
				I_e [mW/sr]	V_F [V]	$I_F = 1 \text{ A}, t_p = 20 \text{ ms}$	$I_F = 1 \text{ A}, t_p = 100 \mu\text{s}$			
 OSTAR Observation	SFH 4740	860 / 850	± 60	1200	$I_F = 1 \text{ A}, t_p = 20 \text{ ms}$	18 (≤ 24)	$I_F = 1 \text{ A}, t_p = 100 \mu\text{s}$	10	Q65110A6190	80
 OSTAR Lighting	SFH 4750	860 / 850	± 75	1000	$I_F = 100 \text{ mA}, t_p = 20 \text{ ms}$	1.5 (≤ 1.8)	$I_F = 1 \text{ A}, t_p = 100 \mu\text{s}$	20	Q65110A8280	81










High power emitters 940 nm | Hochleistungsemitter 940 nm

Package Gehäuse	Type Bezeichnung	λ_{peak} (typ) / $\lambda_{\text{centroid}}$ (typ) [nm]	Half angle φ [°]	Measurement cond.		V_F [V]	Measurement cond.	t_r, t_f typ [ns]	Ordering Code Bestellnummer	Package Fig. Bauteilzeichnung
				I_e [mW/sr]						
 Golden DRAGON	SFH 4231	950 / 935	± 60	200	$I_F = 1 \text{ A}, t_p = 10 \text{ ms}$	1.8 (≤ 2.4)	$I_F = 1 \text{ A}, t_p = 100 \mu\text{s}$	20	Q65110A4808	62
 TOPLED	SFH 4243	950 / 940	± 60	11 (≥ 4)	$I_F = 70 \text{ mA}, t_p = 20 \text{ ms}$	1.5 (≤ 1.9)	$I_F = 50 \text{ mA}, t_p = 20 \text{ ms}$	11	Q65110A7515	70
 TOPLED with Lens	SFH 4246	950 / 940	± 25	35 (≥ 10)	$I_F = 70 \text{ mA}, t_p = 20 \text{ ms}$	1.5 (≤ 1.9)	$I_F = 50 \text{ mA}, t_p = 20 \text{ ms}$	11	Q65110A8100	71
 SIDELED	SFH 4244	950 / 940	± 60	11 (≥ 4)	$I_F = 70 \text{ mA}, t_p = 20 \text{ ms}$	1.5 (≤ 1.9)	$I_F = 50 \text{ mA}, t_p = 20 \text{ ms}$	11	Q65110A7516	75
 MIDLED	SFH 4641	940 / 940	± 15	50 (≥ 16)	$I_F = 70 \text{ mA}, t_p = 20 \text{ ms}$	1.5 (≤ 1.9)	$I_F = 50 \text{ mA}, t_p = 20 \text{ ms}$	11	Q65110A8098	10
 MIDLED	SFH 4646	940 / 940	± 15	50 (≥ 16)	$I_F = 70 \text{ mA}, t_p = 20 \text{ ms}$	1.5 (≤ 1.9)	$I_F = 50 \text{ mA}, t_p = 20 \text{ ms}$	11	Q65110A8099	10
 Mini TOPLED	SFH 4247	950 / 940	± 65	8 (≥ 4)	$I_F = 70 \text{ mA}, t_p = 20 \text{ ms}$	1.5 (≤ 1.9)	$I_F = 50 \text{ mA}, t_p = 20 \text{ ms}$	11	Q65110A8091	69
 T1 3/4 SMR	SFH 4542	950 / 940	± 10	200 (≥ 63)	$I_F = 100 \text{ mA}, t_p = 20 \text{ ms}$	1.5 (≤ 1.8)	$I_F = 100 \text{ mA}, t_p = 20 \text{ ms}$	11	Q65110A8093	77
 SMR	SFH 4543	950 / 940	± 10	200 (≥ 63)	$I_F = 100 \text{ mA}, t_p = 20 \text{ ms}$	1.5 (≤ 1.8)	$I_F = 100 \text{ mA}, t_p = 20 \text{ ms}$	11	Q65110A8094	78











Infrared Emitters | IR-Lumineszenzdioden

Package Gehäuse	Type Bezeichnung	λ_{peak} (typ) / $\lambda_{\text{centroid}}$ (typ) [nm]	Half angle φ [°]	Measurement		Measurement		t_r, t_f typ [ns]	Ordering Code Bestellnummer	Package Fig. Bauteilzeichnung
				I_e [mW/sr]	Measurement cond. $I_F=100$ mA, $t_p=20$ ms	V_F [V]	Measurement cond. $I_F=50$ mA, $t_p=20$ ms			
 T 1	SFH 4341	950 / 940	± 10	80 (≥ 40)	$I_F=100$ mA, $t_p=20$ ms	1.5 (≤ 1.9)	$I_F=50$ mA, $t_p=20$ ms	11	Q65110A8092	84
 T 1 3/4	SFH 4545	950 / 940	± 5	600 (≥ 160)	$I_F=100$ mA, $t_p=20$ ms	1.5 (≤ 1.8)	$I_F=100$ mA, $t_p=20$ ms	11	Q65110A8095	86
 T 1 3/4	SFH 4546	950 / 940	± 20	140 (≥ 40)	$I_F=100$ mA, $t_p=20$ ms	1.5 (≤ 1.8)	$I_F=100$ mA, $t_p=20$ ms	11	Q65110A8096	83
 OSTAR Lighting	SFH 4751	950 / 940	± 75		$I_F=100$ mA, $t_p=20$ ms	10.6 (≤ 14.5)	$I_F=1$ A, $t_p=100$ μ s	20	Q65110A8867	81

Emitters in plastic package | Emitter im Plastikgehäuse

Package Gehäuse	Type Bezeichnung	λ_{peak} typ [nm]	Half angle φ [°]	Measurement cond.		t_r, t_f typ [ns]	Ordering Code Bestellnummer	Package Fig. Bauteilzeichnung		
				I_e [mW/sr]	V_F [V]					
 T 1	SFH 4350	850	± 13	$70 (\geq 40)$	$I_F=100$ mA, $t_p=20$ ms	$1.5 (\leq 1.8)$	$I_F = 100$ mA, $t_p = 20$ ms	12	Q65110A2091	84
 T 1	SFH 487	880	± 20	≥ 12.5	$I_F=100$ mA, $t_p=20$ ms	$1.5 (\leq 1.8)$	$I_F = 100$ mA, $t_p = 20$ ms	600	Q62703Q1095	84
	SFH 487-2			20 ... 80					Q62703Q2174	
	SFH 487-3			31 ... 125					Q62703Q2175	
 T 1	SFH 487 P	880	± 65	≥ 2	$I_F=100$ mA, $t_p=20$ ms	$1.5 (\leq 1.8)$	$I_F = 100$ mA, $t_p = 20$ ms	600	Q62703Q0517	90
 T 1	SFH 4341	950	± 10	$80 (\geq 40)$	$I_F=100$ mA, $t_p=20$ ms	$1.5 (\leq 1.9)$	$I_F = 50$ mA, $t_p = 20$ ms	11	Q65110A8092	84
 T 1	SFH 409	950	± 20	≥ 6.3	$I_F=100$ mA, $t_p=20$ ms	$1.3 (\leq 1.5)$	$I_F = 100$ mA, $t_p = 20$ ms	500	Q62702P0860	93
	SFH 409-2			≥ 10					Q62702P1002	
 T 1 3/4	SFH 4550	850	± 3	$700 (\geq 400)$	$I_F=100$ mA, $t_p=20$ ms	$1.5 (\leq 1.8)$	$I_F = 100$ mA, $t_p = 20$ ms	12	Q65110A1772	82
 T 1 3/4	SFH 4556	850	± 20	$130 (\geq 40)$	$I_F=100$ mA, $t_p=20$ ms	$1.5 (\leq 1.8)$	$I_F = 100$ mA, $t_p = 20$ ms	12	Q65110A6087	83
 T 1 3/4	SFH 484	880	± 8	≥ 50	$I_F=100$ mA, $t_p=20$ ms	$1.5 (\leq 1.8)$	$I_F = 100$ mA, $t_p = 20$ ms	600	Q62703Q1092	82
	SFH 484-2			≥ 80					Q62703Q1756	
 T 1 3/4	SFH 486	880	± 11	$70 (\geq 40)$	$I_F=100$ mA, $t_p=20$ ms	$1.5 (\leq 1.8)$	$I_F = 100$ mA, $t_p = 20$ ms	600	Q62703Q1094	87




Infrared Emitters | IR-Lumineszenzdioden

Package Gehäuse	Type Bezeichnung	λ_{peak} typ [nm]	Half angle φ [°]	I_e	Measurement cond.	V_F	Measurement cond.	t_r, t_f typ [ns]	Ordering Code Bestellnummer	Package Fig. Bauteilzeichnung
				[mW/sr]		[V]				
 T 1 3/4	SFH 485	880	± 20	25 ... 160	$I_F=100$ mA, $t_p=20$ ms	1.5 (≤ 1.8)	$I_F = 100$ mA, $t_p = 20$ ms	600	Q62703Q1093	88
	SFH 485-2			25 ... 100					Q62703Q1547	
 T 1 3/4	SFH 485 P	880	± 40	≥ 3.15	$I_F=100$ mA, $t_p=20$ ms	1.5 (≤ 1.8)	$I_F = 100$ mA, $t_p = 20$ ms	600	Q62703Q0516	89
 T 1 3/4	LD 274	950	± 10	≥ 50	$I_F=100$ mA, $t_p=20$ ms	1.3 (≤ 1.5)	$I_F = 100$ mA, $t_p = 20$ ms	500	Q62703Q1031	91
	LD 274-3			≥ 80					Q62703Q1820	
 T 1 3/4	LD 271	950	± 25	15 (≥ 10)	$I_F=100$ mA, $t_p=20$ ms	1.3 (≤ 1.5)	$I_F = 100$ mA, $t_p = 20$ ms	1000	Q62703Q0148	92
	LD 271-H								Q62703Q0256	
 T 1 3/4	LD 271 L	950	± 25	15 (≥ 10)	$I_F=100$ mA, $t_p=20$ ms	1.3 (≤ 1.5)	$I_F = 100$ mA, $t_p = 20$ ms	1000	Q62703Q0833	39
	LD 271 LH			≥ 16					Q62703Q0838	
 T 1 3/4	SFH 415	950	± 17	≥ 25	$I_F=100$ mA, $t_p=20$ ms	1.3 (≤ 1.5)	$I_F = 100$ mA, $t_p = 20$ ms	500	Q62702P0296	39
	SFH 415 U			≥ 40					Q62702P1137	
 T 1 3/4	SFH 4546	950	± 20	140 (≥ 40)	$I_F=100$ mA, $t_p=20$ ms	1.5 (≤ 1.8)	$I_F = 100$ mA, $t_p = 20$ ms	11	Q65110A8096	83
 T 1 3/4	SFH 4511	950	± 4	150 (≥ 63)	$I_F=100$ mA, $t_p=20$ ms	1.3 (≤ 1.5)	$I_F = 100$ mA, $t_p = 20$ ms	500	Q62702P5557	91
 T 1 3/4	SFH 4545	950	± 5	600 (≥ 160)	$I_F=100$ mA, $t_p=20$ ms	1.5 (≤ 1.8)	$I_F = 100$ mA, $t_p = 20$ ms	11	Q65110A8095	86
 T 1 3/4	SFH 4555	850	± 20	130 (≥ 40)	$I_F=100$ mA, $t_p=20$ ms	1.5 (≤ 1.8)	$I_F = 100$ mA, $t_p = 20$ ms	12	Q65110A7341	83

Infrared Emitters | IR-Lumineszenzdioden




Package Gehäuse	Type Bezeichnung	λ_{peak} typ [nm]	Half angle φ [°]	Measurement cond.		Measurement cond.		t_r, t_f typ [ns]	Ordering Code Bestellnummer	Package Fig. Bauteilzeichnung
				I_e [mW/sr]	V_F [V]	I_F [mA], t_p [ms]	I_F [mA], t_p [ms]			

Sidelooker










	IRL 81A	880	± 25	$2.5 (\geq 1)$	$I_F = 20$ mA, $t_p = 20$ ms	$1.5 (\leq 2)$	$I_F = 100$ mA, $t_p = 20$ ms	600	Q68000A8000	94
	IRL 80A	950	± 30	≥ 0.4	$I_F = 20$ mA, $t_p = 20$ ms	$1.2 (\leq 1.5)$	$I_F = 20$ mA	500	Q68000A7851	94
	SFH 4110	950	± 9	≥ 2.5	$I_F = 20$ mA, $t_p = 20$ ms	$1.2 (\leq 1.4)$	$I_F = 20$ mA, $t_p = 20$ ms	450	Q62702P5072	22

Package Gehäuse	Type Bezeichnung	λ_{peak} typ [nm]	Half angle φ [°]	Measurement cond.		Measurement cond.		t_r, t_f typ [ns]	Ordering Code Bestellnummer	Package Fig. Bauteilzeichnung
				I_e [mW/sr]	V_F [V]	I_F [mA], t_p [ms]	I_F [mA], t_p [ms]			




Arrays in plastic package | Zeilen im Plastikgehäuse

	LD 261	950	± 15	$2 \dots 10$	$I_F = 50$ mA, $t_p = 20$ ms	$1.25 (\leq 1.4)$	$I_F = 50$ mA, $t_p = 20$ ms	1000	Q62703Q0395	24
	LD 261-5/6			$3.2 \dots 10$					Q65110A3337	
 Array	LD 262	950	± 15	$5 (\geq 2)$	$I_F = 50$ mA, $t_p = 20$ ms	$1.25 (\leq 1.4)$	$I_F = 50$ mA, $t_p = 20$ ms	1000	Q62703Q0070	25
	LD 263								Q62703Q0071	
	LD 264								Q62703Q0072	
	LD 265								Q62703Q0073	
	LD 266								Q62703Q0074	
	LD 267								Q62703Q0075	
	LD 268								Q62703Q0076	
	LD 269								Q62703Q0077	
	LD 260								Q62703Q0078	
	SFH 405	950	± 16	$2.5 (\geq 1.6)$	$I_F = 40$ mA, $t_p = 20$ ms	$1.25 (\leq 1.4)$	$I_F = 40$ mA, $t_p = 20$ ms	1000	Q62702P0835	23

Emitters in metal package | Emitter im Metallgehäuse

Package Gehäuse	Type Bezeichnung	λ_{peak} typ [nm]	Half angle φ [°]	I_e	Measurement cond.	V_F	Measurement cond.	t_r, t_f typ [ns]	Ordering Code Bestellnummer	Package Fig. Bauteilzeichnung
				[mW/sr]		[V]				
 TO 18	SFH 464 E7800	660	± 23	≥ 1	$I_F = 50$ mA, $t_p = 20$ ms	2.1 (≤ 2.8)	$I_F = 50$ mA, $t_p = 20$ ms	100	Q62702P1745	85
 TO 18	SFH 4860	660	± 50	1.3 (≥ 0.63)	$I_F = 50$ mA, $t_p = 20$ ms	2 (≤ 2.8)	$I_F = 50$ mA, $t_p = 20$ ms	100	Q62702P5053	95
 TO-18	SFH 4850 E7800	850	± 23	7 (≥ 4)	$I_F = 100$ mA, $t_p = 20$ ms	1.5 (≤ 1.8)	$I_F = 100$ mA, $t_p = 20$ ms	12	Q65110A2093	85
 TO 18	SFH 480	880	± 6	≥ 40	$I_F = 100$ mA, $t_p = 20$ ms	1.5 (≤ 1.8)	$I_F = 100$ mA, $t_p = 20$ ms	600	Q62703Q1087	96
	SFH 480-2/3								Q62702P5195	
 TO 18	SFH 483 L/M E7800	880	± 23	2 (1 ... 3.2)	$I_F = 100$ mA, $t_p = 20$ ms	1.5 (≤ 1.8)	$I_F = 100$ mA, $t_p = 20$ ms	600	Q62703Q4755	85
 TO 18	SFH 482	880	± 30	≥ 3.15	$I_F = 100$ mA, $t_p = 20$ ms	1.5 (≤ 1.8)	$I_F = 100$ mA, $t_p = 20$ ms	600	Q62703Q1089	44
	SFH 482-1/2			3.15 ... 10					Q62703Q4771	
	SFH 482-2/3			≥ 5					Q62703Q4754	
	SFH 482 M E7800			1.6 ... 3.2					Q62703Q2186	
 TO 46	SFH 4881	880	± 5	72 (≥ 40)	$I_F = 100$ mA, $t_p = 20$ ms	1.5 (≤ 1.8)	$I_F = 100$ mA, $t_p = 20$ ms	500	Q62702P5302	97
 TO 46	SFH 4883	880	± 35	8 (≥ 4)	$I_F = 100$ mA, $t_p = 20$ ms	1.5 (≤ 1.8)	$I_F = 100$ mA, $t_p = 20$ ms	500	Q62702P5303	98
 TO 18	LD 242 E7800	950	± 40	1 ... 3.2	$I_F = 100$ mA, $t_p = 20$ ms	1.3 (≤ 1.5)	$I_F = 100$ mA, $t_p = 20$ ms	1000	Q62703Q3509	85
	LD 242-2/3			≥ 4					Q62703Q4749	

Infrared Emitters | IR-Lumineszenzdioden

Package Gehäuse	Type Bezeichnung	λ_{peak} typ [nm]	Half angle φ [°]	Measurement cond.		Measurement cond.		t_r, t_f typ [ns]	Ordering Code Bestellnummer	Package Fig. Bauteilzeichnung
				I_e [mW/sr]	$I_F = 100$ mA, $t_p = 20$ ms	V_F [V]	$I_F = 100$ mA, $t_p = 20$ ms			
 TO 18	SFH 400	950	± 6	≥ 20	$I_F = 100$ mA, $t_p = 20$ ms	1.3 (≤ 1.5)	$I_F = 100$ mA, $t_p = 20$ ms	1000	Q62702P0096	96
 TO 18	SFH 401	950	± 15	≥ 10	$I_F = 100$ mA, $t_p = 20$ ms	1.3 (≤ 1.5)	$I_F = 100$ mA, $t_p = 20$ ms	1000	Q62702P0097	99
	SFH 4811	950	± 5	40 (≥ 25)	$I_F = 100$ mA, $t_p = 20$ ms	1.3 (≤ 1.5)	$I_F = 100$ mA, $t_p = 20$ ms	500	Q62702P5300	100
	SFH 4813	950	± 35	4.5 (≥ 2.5)	$I_F = 100$ mA, $t_p = 20$ ms	1.3 (≤ 1.5)	$I_F = 100$ mA, $t_p = 20$ ms	500	Q62702P5301	101

Silicon Photodetectors, Optical Sensors and Infrared Emitters

| Si-Fotodetektoren, Optische Sensoren und IR-Lumineszenzdioden

Outline drawings - Dimensions in mm (inch) | Outline drawings - Dimensions in mm (inch)

Figure 1: SFH 3010, SFH 4010, SFH 4050, SFH 4080

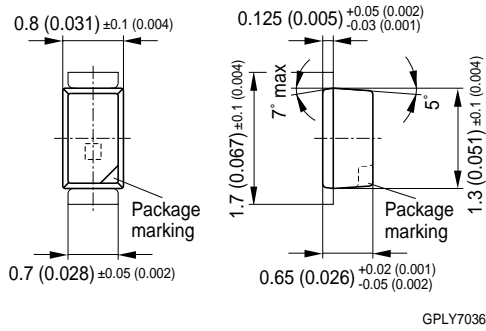


Figure 2: SFH 320, SFH 320 FA

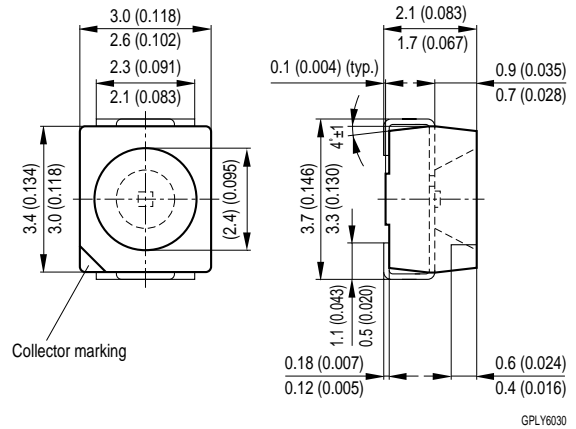


Figure 3: SFH 4246, SFH 4289, SFH 3219

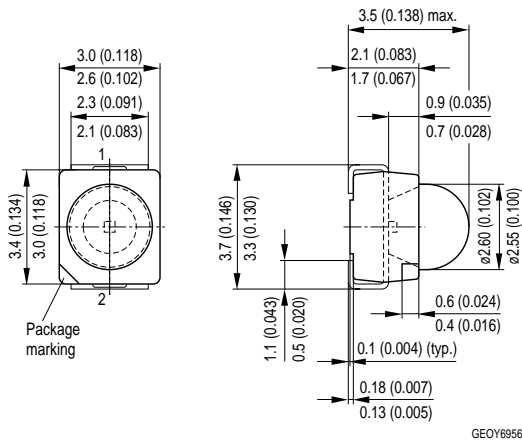


Figure 4: SFH 3211, SFH 3211 FA

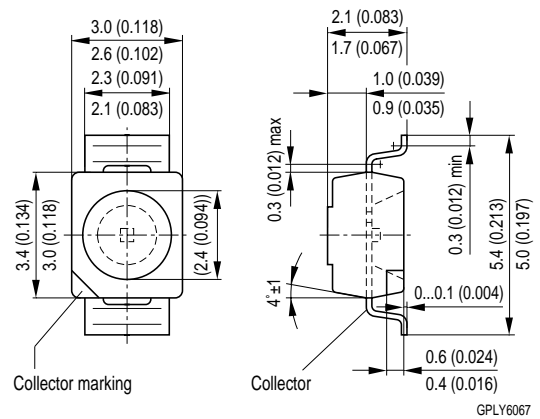


Figure 5: SFH 325, SFH 325 FA

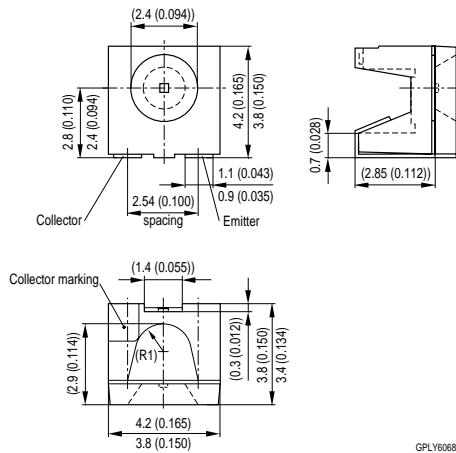
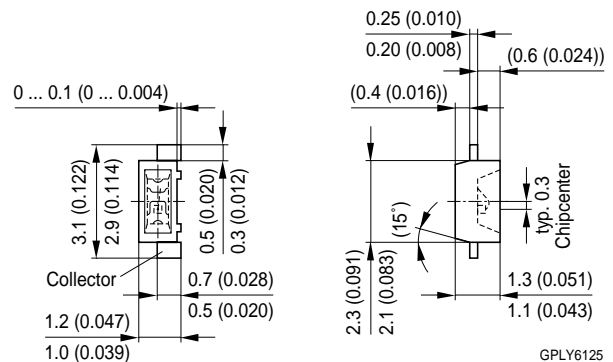


Figure 6: SFH 3204



Silicon Photodetectors, Optical Sensors and Infrared Emitters | Si-Fotodetektoren, Optische Sensoren und IR-Lumineszenzdioden

Outline drawings - Dimensions in mm (inch) | Outline drawings - Dimensions in mm (inch)

Figure 7: SFH 3400

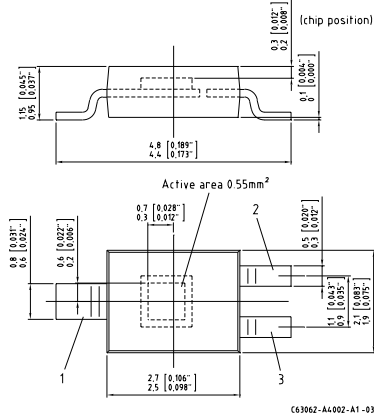


Figure 8: SFH 3401

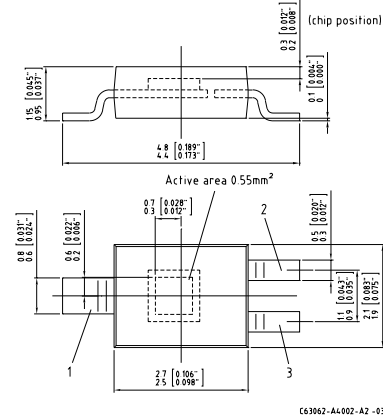


Figure 9: SFH 3201

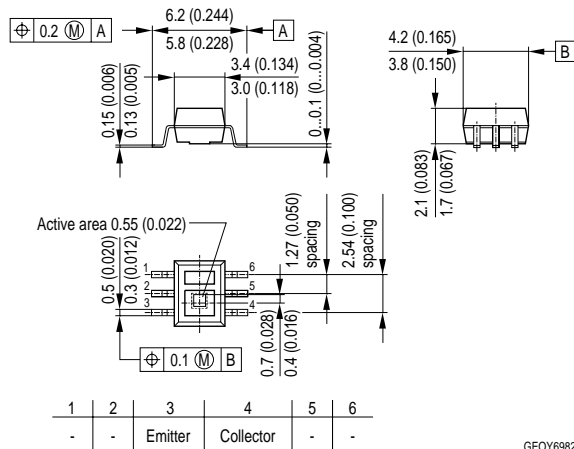


Figure 10: SFH 3600, SFH 3605, SFH 4641, SFH 4646, SFH 4650, SFH 4651, SFH 4655, SFH 4656, SFH 4680, SFH 4685
For polarity, please see Datasheet

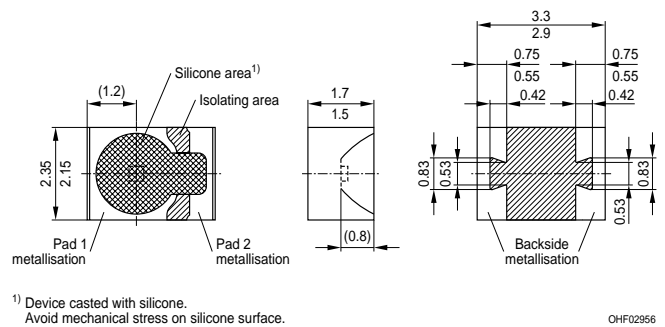


Figure 11: SFH 331, SFH 7225

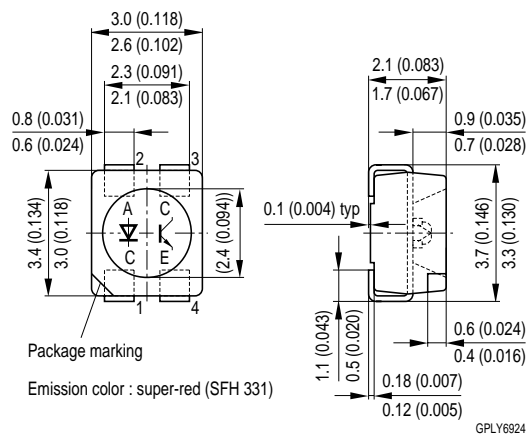
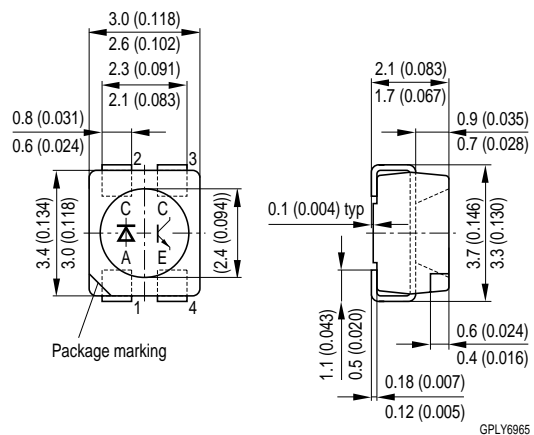


Figure 12: SFH 7221

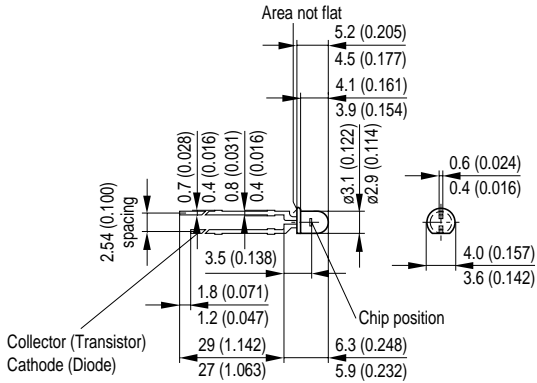


Silicon Photodetectors, Optical Sensors and Infrared Emitters

| Si-Fotodetektoren, Optische Sensoren und IR-Lumineszenzdioden

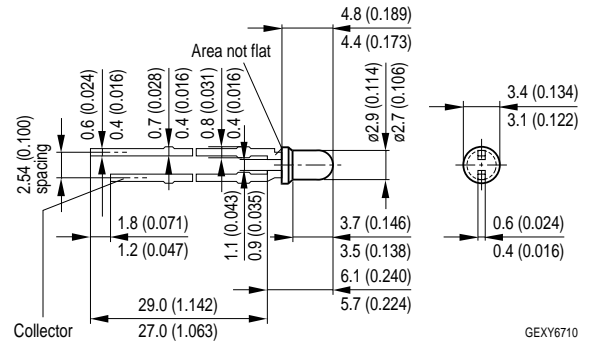
Outline drawings - Dimensions in mm (inch) | Outline drawings - Dimensions in mm (inch)

Figure 13: SFH 309, SFH 309 FA, SFH 229, SFH 229 FA, SFH 2302, SFH 2332



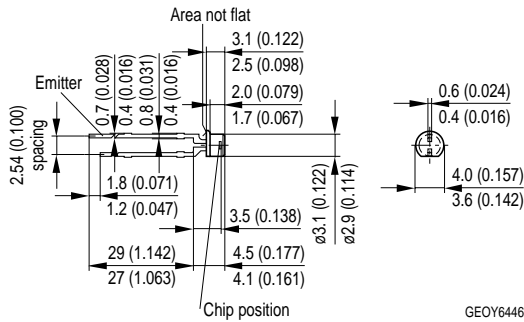
GEOY6653

Figure 14: SFH 310, SFH 310 FA



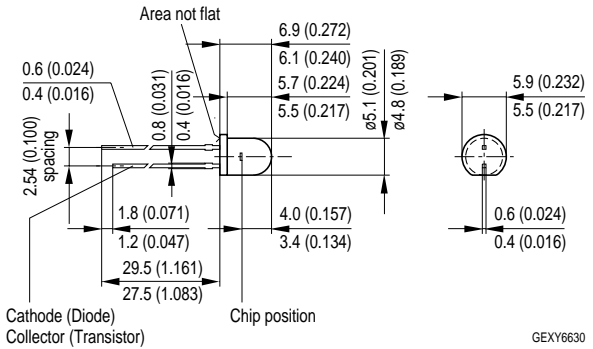
GEXY6710

Figure 15: SFH 309 P, SFH 309 PFA, SFH 3310



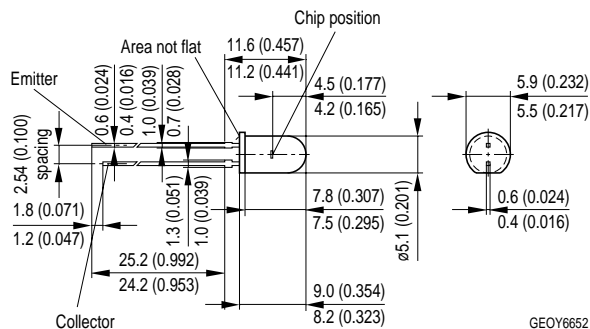
GEOY6446

Figure 16: SFH 314, SFH 314 FA



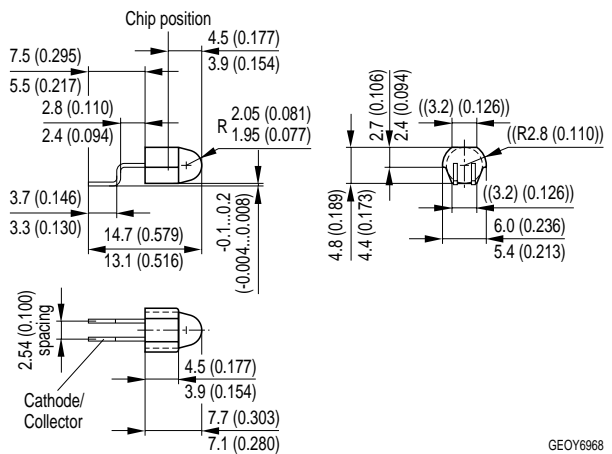
GEXY6630

Figure 17: SFH 300, SFH 300 FA



GEOY6652

Figure 18: SFH 3500, SFH 2500 FA, SFH 4510



GEOY6968

Silicon Photodetectors, Optical Sensors and Infrared Emitters

| Si-Fotodektoren, Optische Sensoren und IR-Lumineszenzdioden

Outline drawings - Dimensions in mm (inch) | Outline drawings - Dimensions in mm (inch)

Figure 19: LPT 80 A

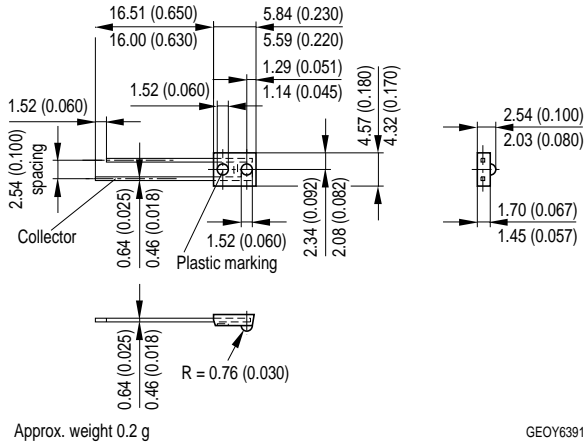


Figure 20: SFH 213, SFH 213 FA, SFH 313 FA

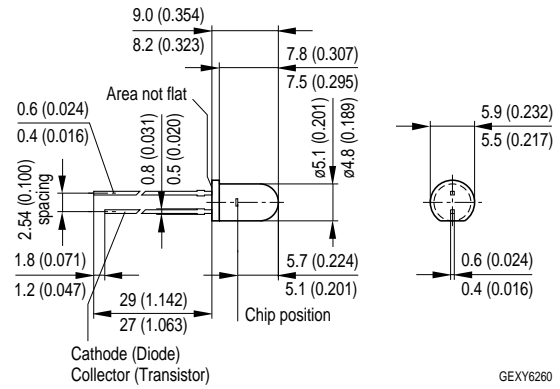


Figure 21: SFH 303 FA

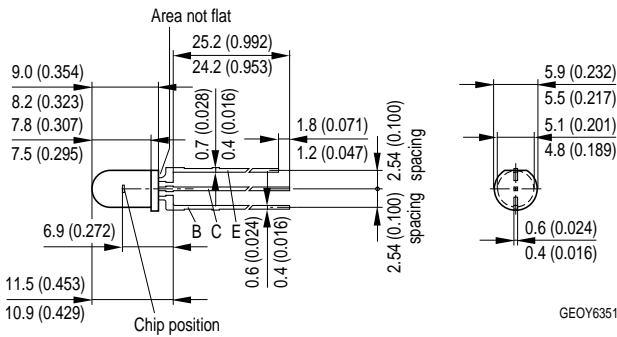


Figure 22: SFH 3100 F, SFH 4110

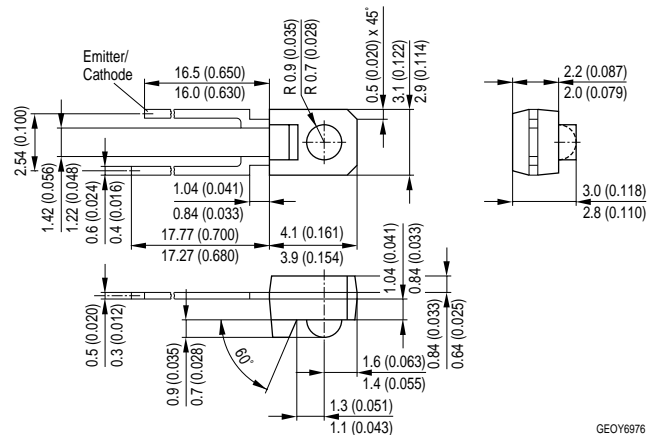


Figure 23: SFH 305, SFH 405

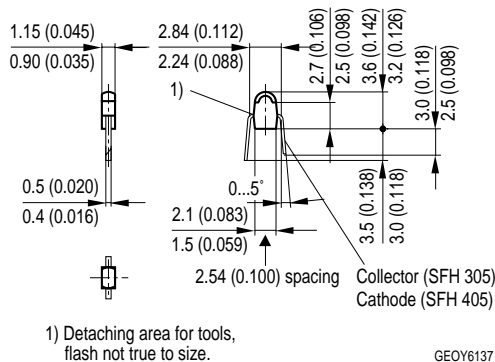
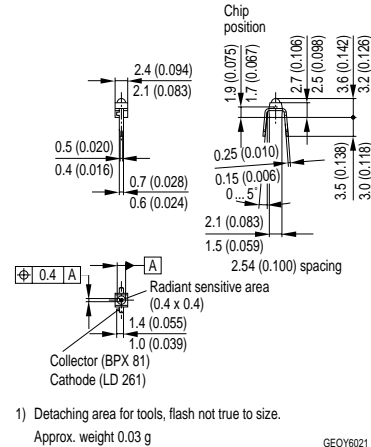


Figure 24: BPX 81, LD 261



Silicon Photodetectors, Optical Sensors and Infrared Emitters

| Si-Fotodetektoren, Optische Sensoren und IR-Lumineszenzdioden

Outline drawings - Dimensions in mm (inch) | Outline drawings - Dimensions in mm (inch)

Figure 25: BPX 80, BPX 82-89, LD 260, LD 262-269

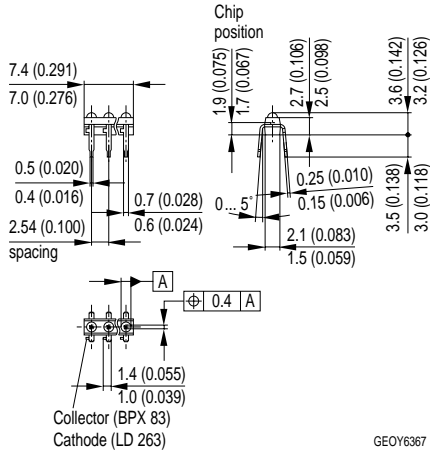


Figure 26: BPX 43, BPY 62

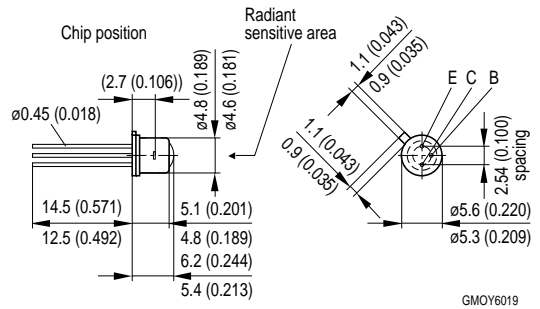


Figure 27: BPX 38

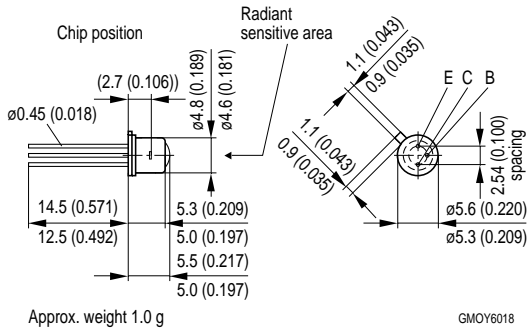


Figure 28: BP 103

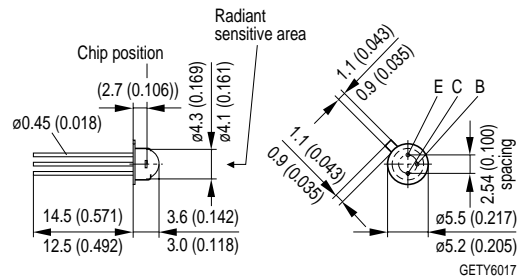


Figure 29: BPW 34 S, BPW 34 BS, BP 104 S

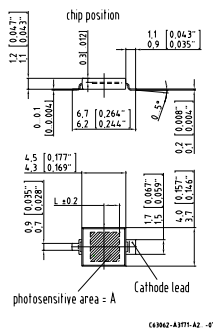
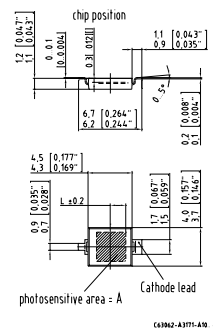


Figure 30: BP 104 SR, BPW 34 SR



Silicon Photodetectors, Optical Sensors and Infrared Emitters

| Si-Fotodetektoren, Optische Sensoren und IR-Lumineszenzdioden

Outline drawings - Dimensions in mm (inch) | Outline drawings - Dimensions in mm (inch)

Figure 31: SFH 2400, SFH 2400 FA

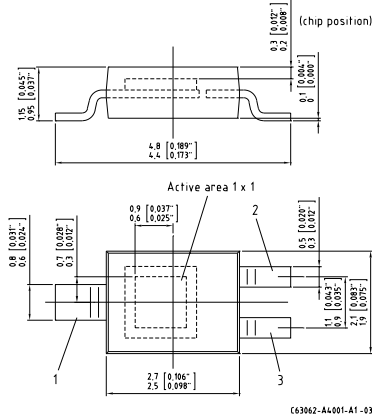


Figure 32: SFH 2505, SFH 2505 FA, SFH 4515

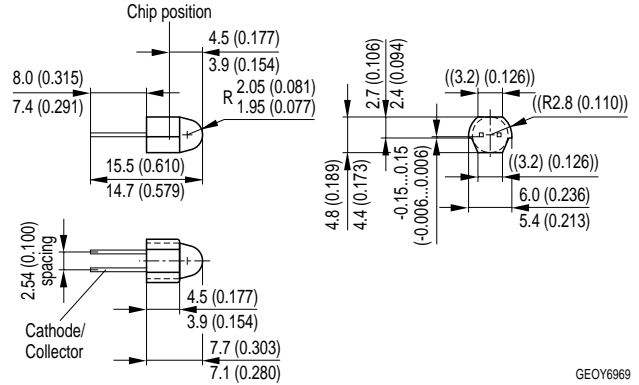


Figure 33: SFH 2701

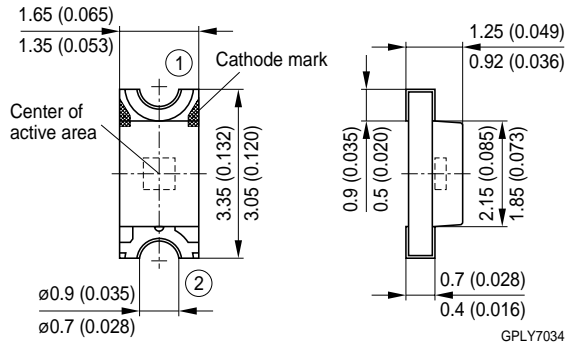


Figure 34: BP 104 FS, BP 104 FAS, BPW 34 FS, BPW 34 FAS

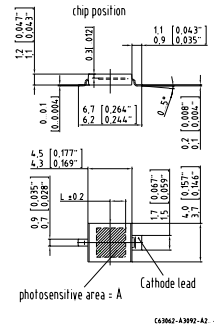


Figure 35: BP 104 FASR, BPW 34 FSR, BPW 34 FASR

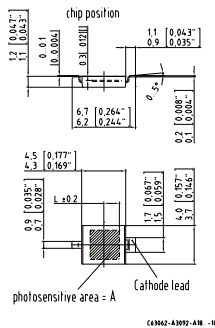
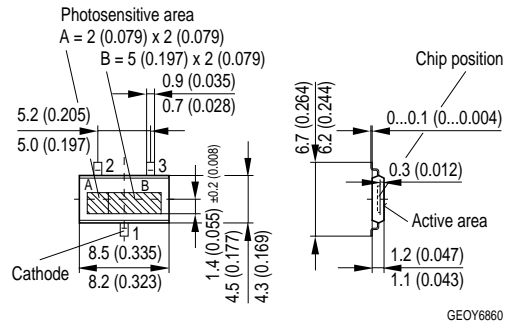


Figure 36: KOM 2125



Silicon Photodetectors, Optical Sensors and Infrared Emitters

| Si-Fotodetektoren, Optische Sensoren und IR-Lumineszenzdioden

Outline drawings - Dimensions in mm (inch) | Outline drawings - Dimensions in mm (inch)

Figure 37: BPW 34B, BPW 34

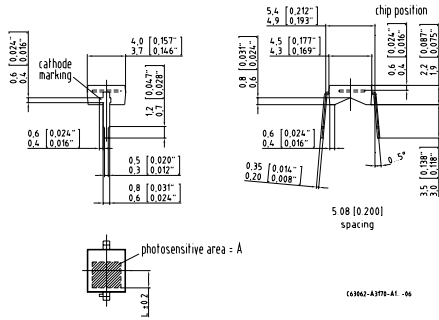


Figure 38: SFH 206 K

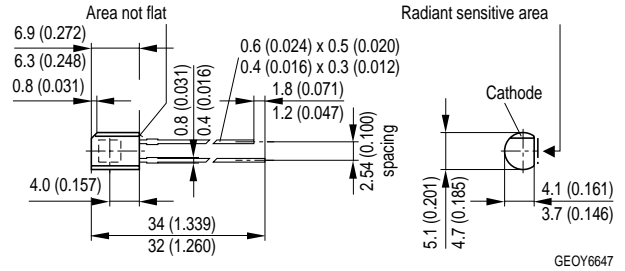


Figure 39: SFH 203, SFH 203 FA, LD 271 L/LH, SFH 415

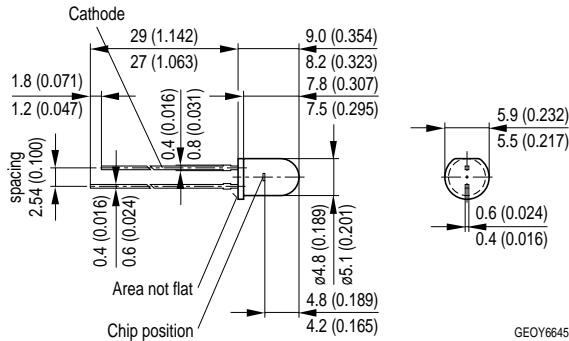


Figure 40: SFH 203 P, SFH 203 PFA

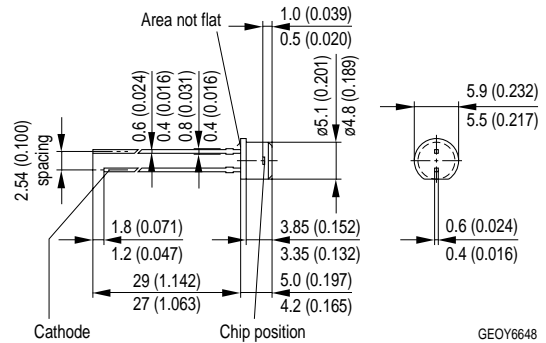


Figure 41: BP 104 F, BPW 34 FA, BPW 34 F

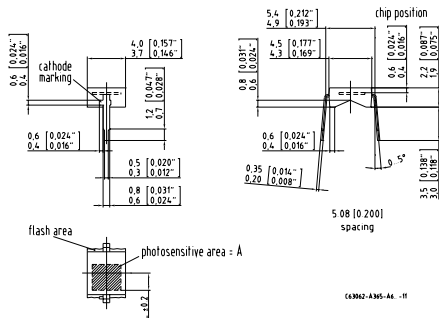
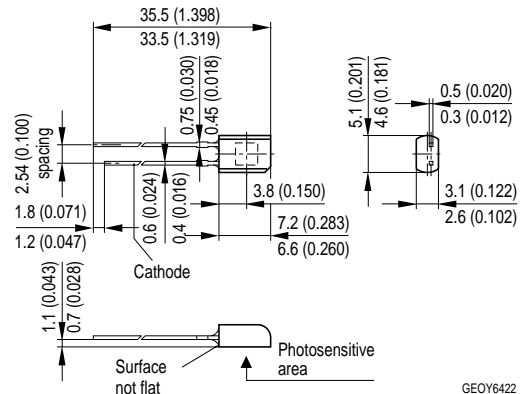


Figure 42: SFH 225 FA, SFH 235 FA



Silicon Photodetectors, Optical Sensors and Infrared Emitters | Si-Fotodetektoren, Optische Sensoren und IR-Lumineszenzdioden

Outline drawings - Dimensions in mm (inch) | Outline drawings - Dimensions in mm (inch)

Figure 43: SFH 205 F, SFH 205 FA

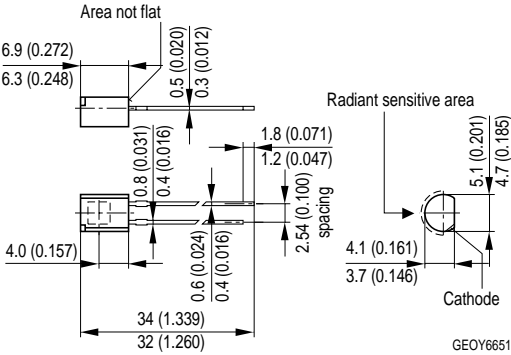


Figure 44: SFH 482, BPX 65

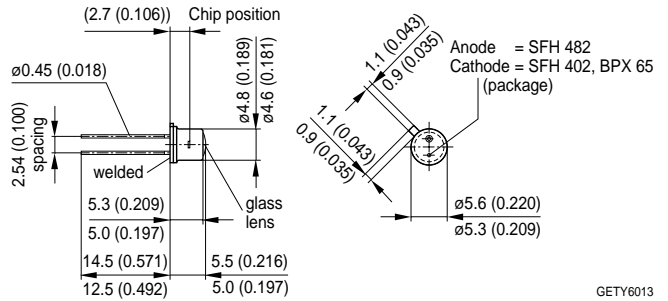
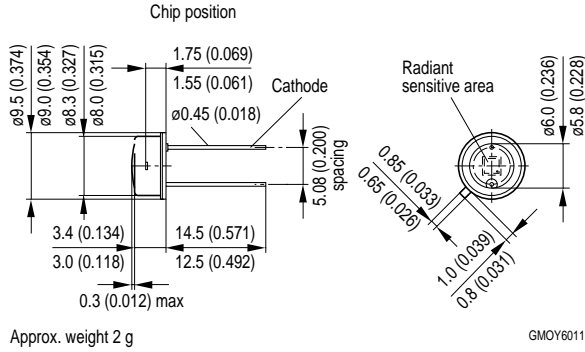


Figure 45: BPW 21, BPX 61



Approx. weight 2 g

Figure 46: SFH 5440

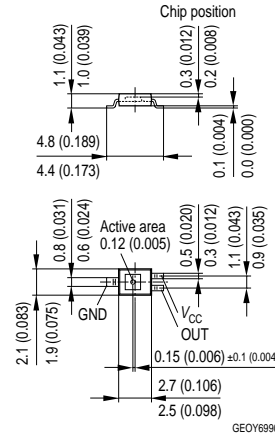


Figure 47: SFH 5140 F

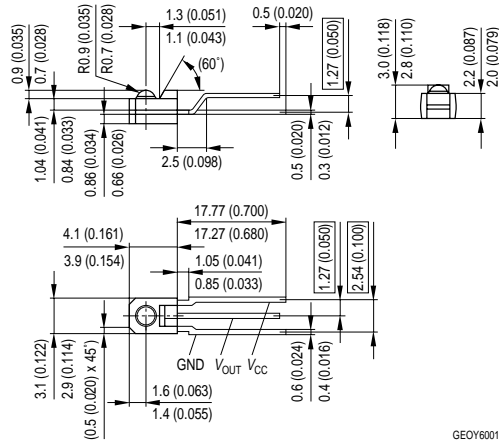
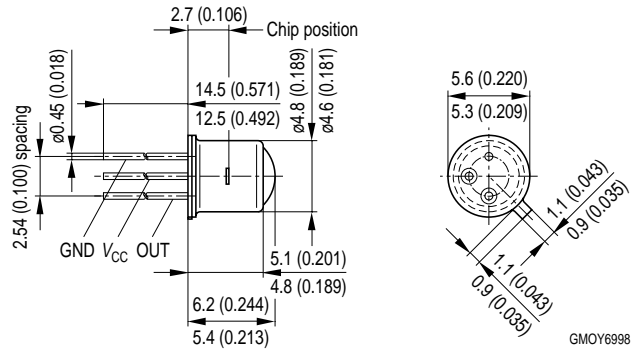


Figure 48: SFH 5840



Silicon Photodetectors, Optical Sensors and Infrared Emitters

| Si-Fotodetektoren, Optische Sensoren und IR-Lumineszenzdioden

Outline drawings - Dimensions in mm (inch) | Outline drawings - Dimensions in mm (inch)

Figure 49: SFH 5110

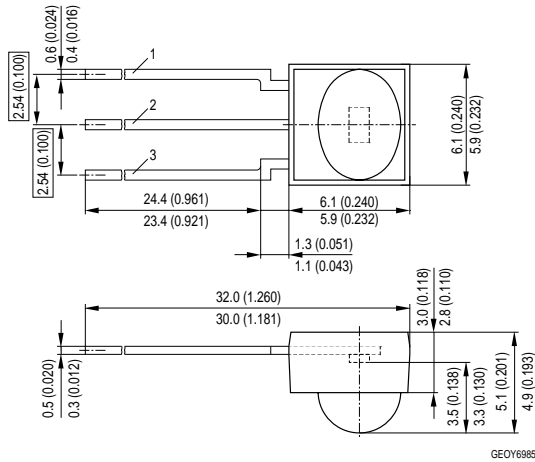


Figure 50: SFH 5410

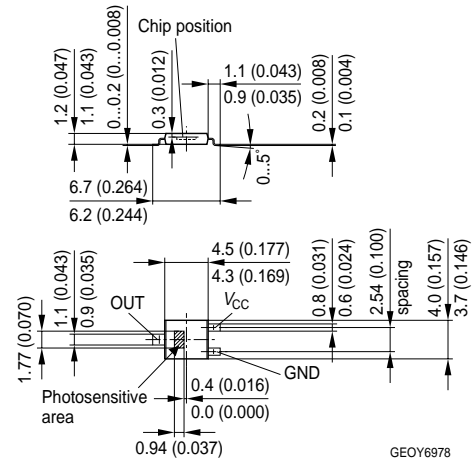


Figure 51: SFH 221

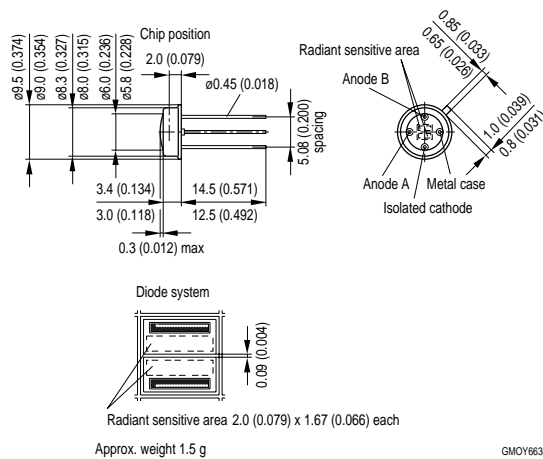


Figure 52: BPX 48

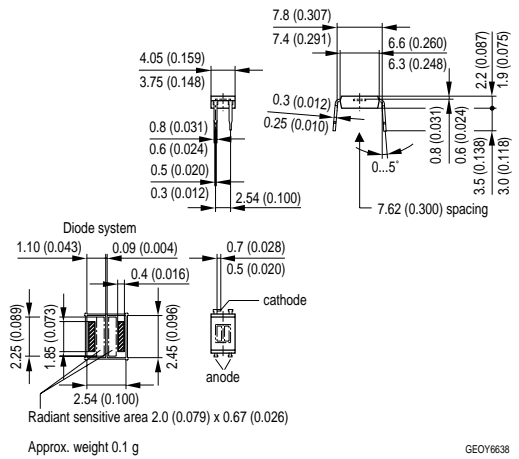


Figure 53: SFH 2430

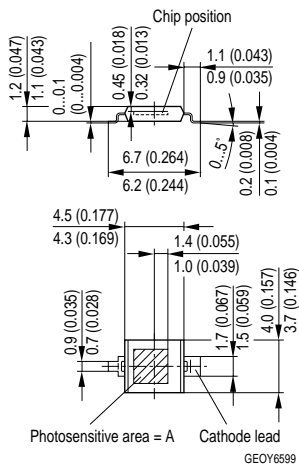
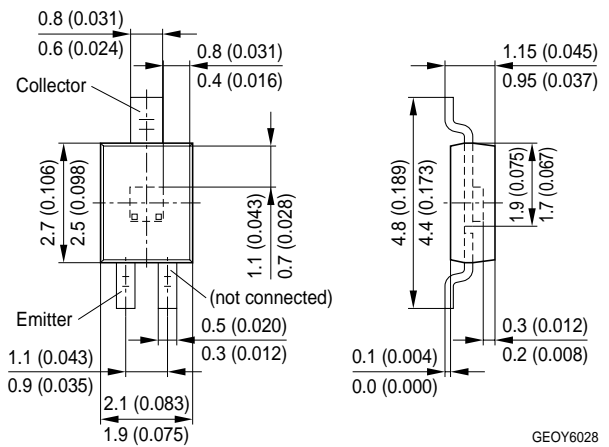


Figure 54: SFH 3410



Silicon Photodetectors, Optical Sensors and Infrared Emitters

| Si-Fotodetektoren, Optische Sensoren und IR-Lumineszenzdioden

Outline drawings - Dimensions in mm (inch) | Outline drawings - Dimensions in mm (inch)

Figure 55: SFH 3710

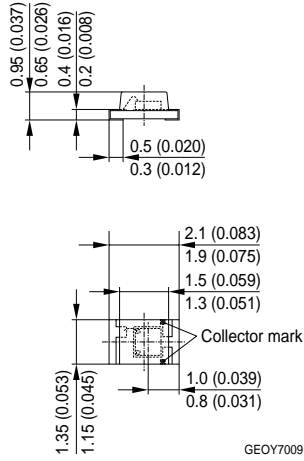


Figure 56: SFH 5711

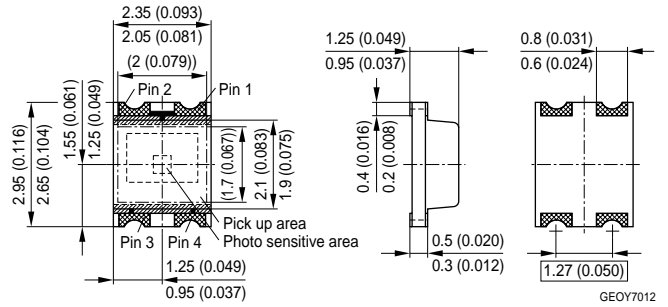


Figure 57: SFH 9315

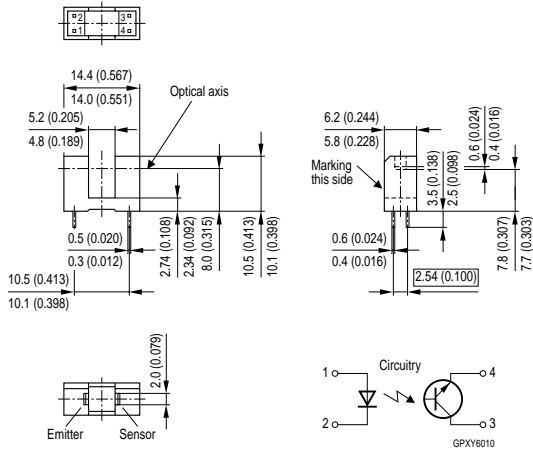


Figure 58: SFH 9500

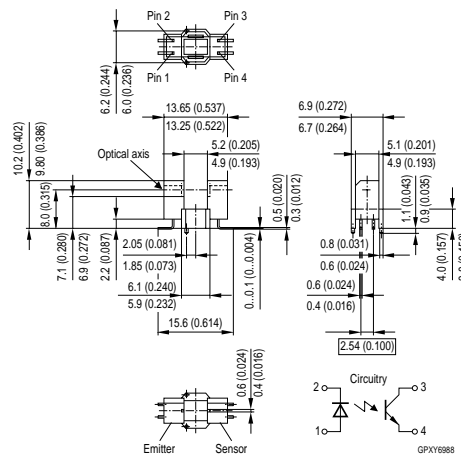


Figure 59: SFH 9201, SFH 9202, SFH 9240

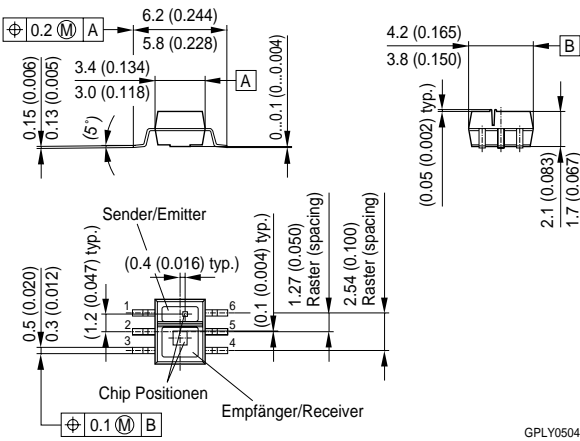
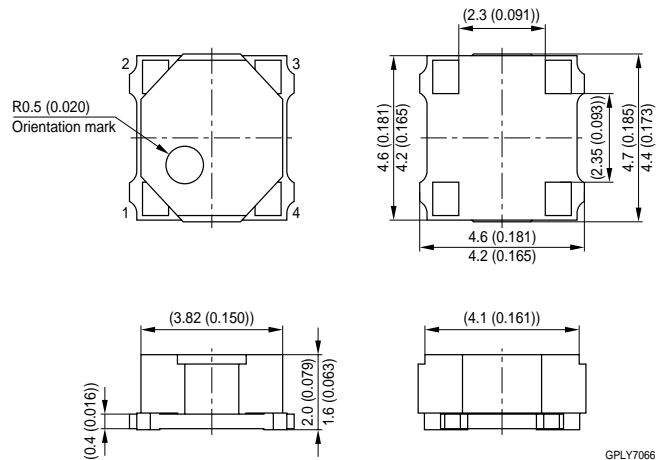


Figure 60: SFH 7710

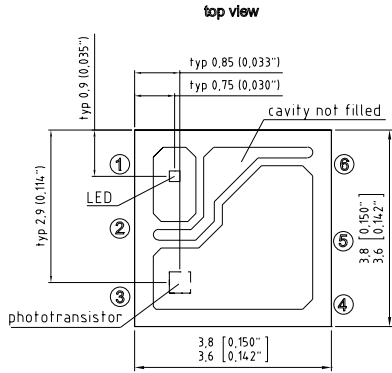


Silicon Photodetectors, Optical Sensors and Infrared Emitters

| Si-Fotodetektoren, Optische Sensoren und IR-Lumineszenzdioden

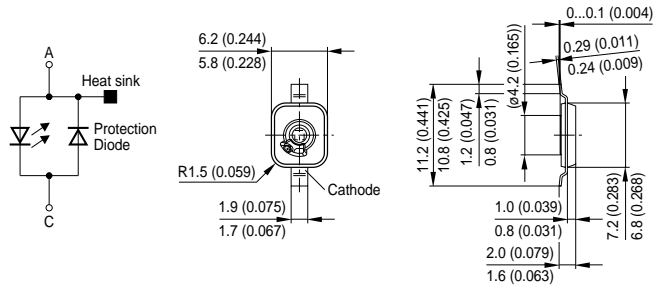
Outline drawings - Dimensions in mm (inch) | Outline drawings - Dimensions in mm (inch)

Figure 61: SFH 7740, SFH 7741, SFH 7743



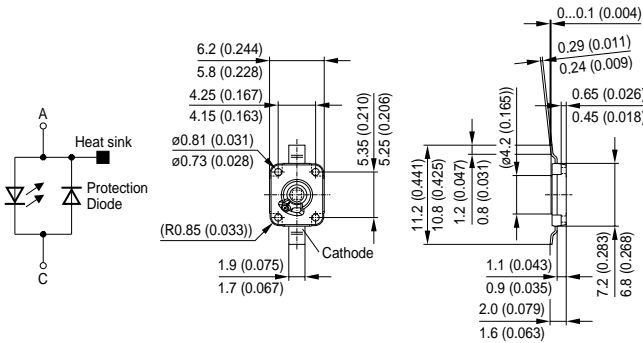
C63062-A3981-A1-01

Figure 62: SFH 4230, SFH 4231



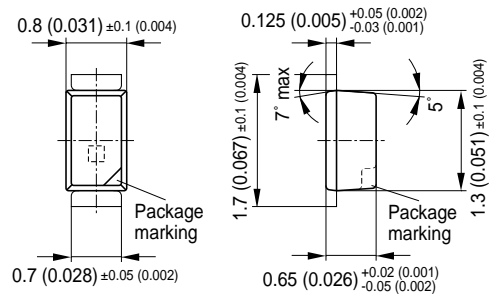
GPLY6192

Figure 63: SFH 4232



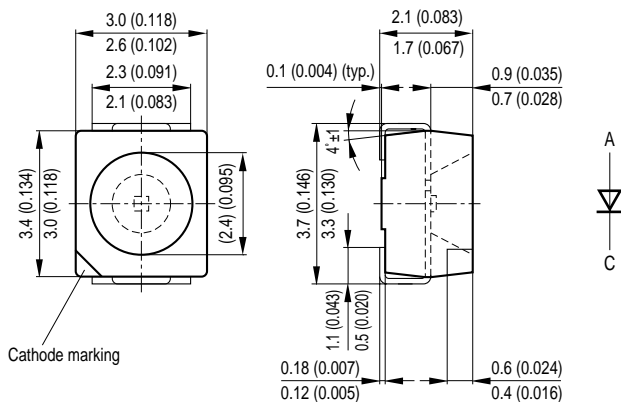
GPLY6147

Figure 64: SFH 4050, SFH 4080



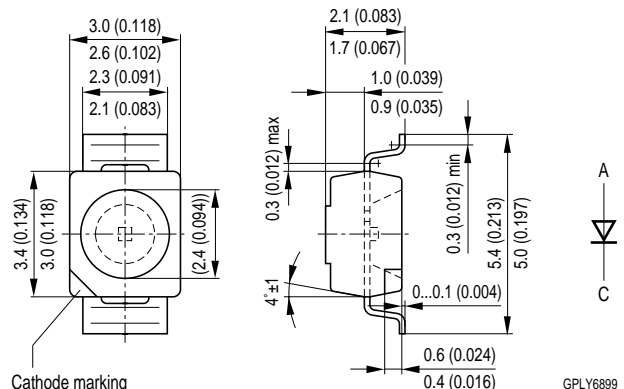
GPLY7036

Figure 65: SFH 420, SFH 421, SFH 4200, SFH 4211, SFH 4252, SFH 4272, SFH 4273



GPLY6724

Figure 66: SFH 4281



GPLY6889

Silicon Photodetectors, Optical Sensors and Infrared Emitters

| Si-Fotodetektoren, Optische Sensoren und IR-Lumineszenzdioden

Outline drawings - Dimensions in mm (inch) | Outline drawings - Dimensions in mm (inch)

Figure 67: SFH 4250

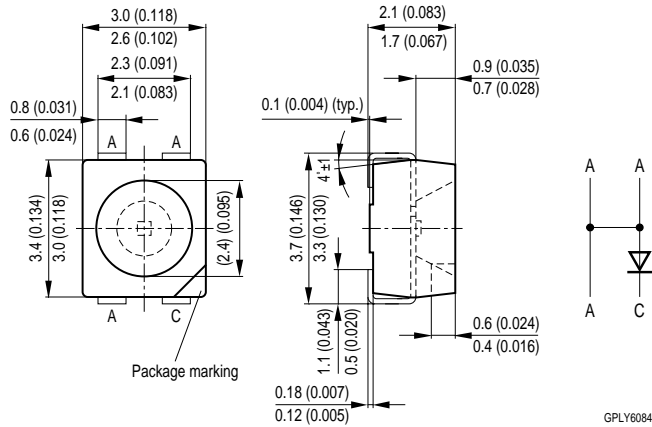


Figure 68: SFH 4271, SFH 4257, SFH 4283

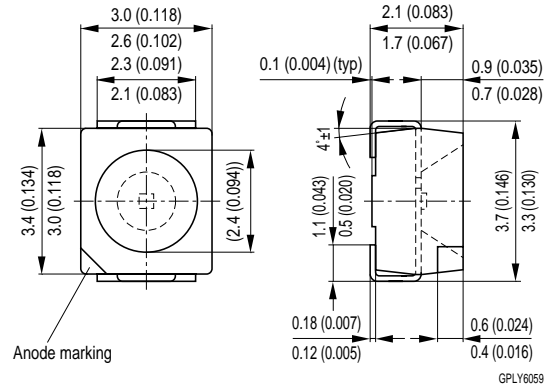


Figure 69: SFH 4203, SFH 4247

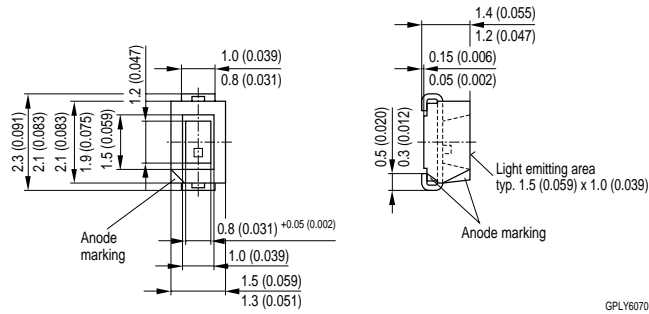


Figure 70: SFH 4243, SFH 4253

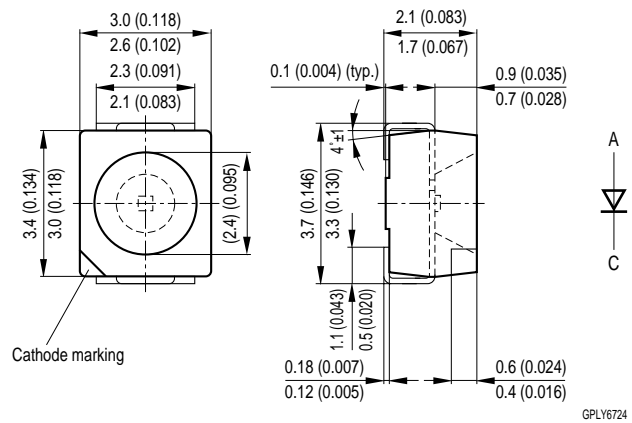


Figure 71: SFH 4246

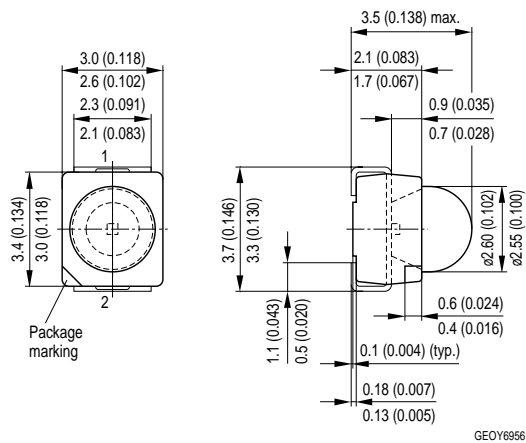
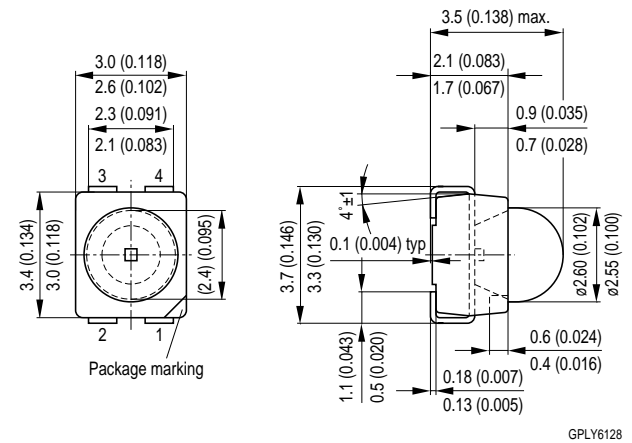


Figure 72: SFH 4259



Silicon Photodetectors, Optical Sensors and Infrared Emitters

| Si-Fotodetektoren, Optische Sensoren und IR-Lumineszenzdioden

Outline drawings - Dimensions in mm (inch) | Outline drawings - Dimensions in mm (inch)

Figure 73: SFH 4258

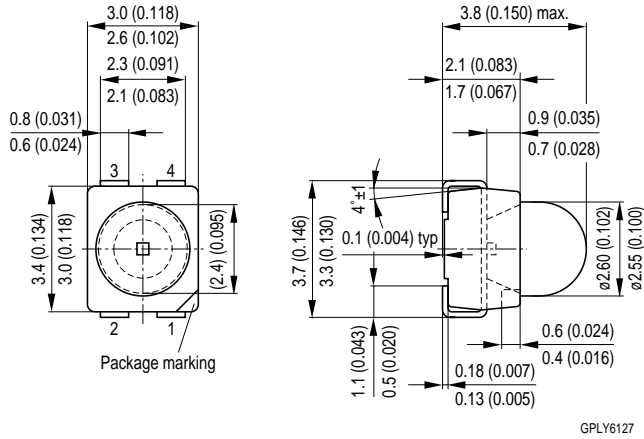


Figure 74: SFH 425, SFH 426, SFH 4255

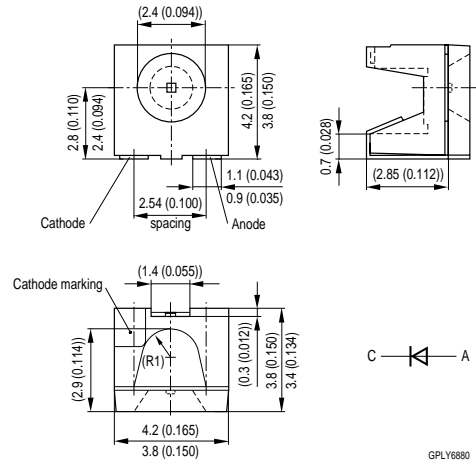


Figure 75: SFH 4244

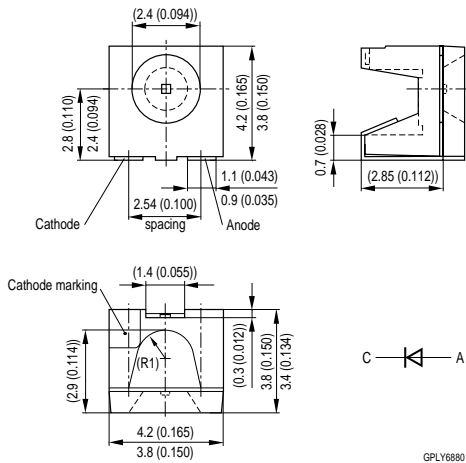


Figure 76: SFH 7222

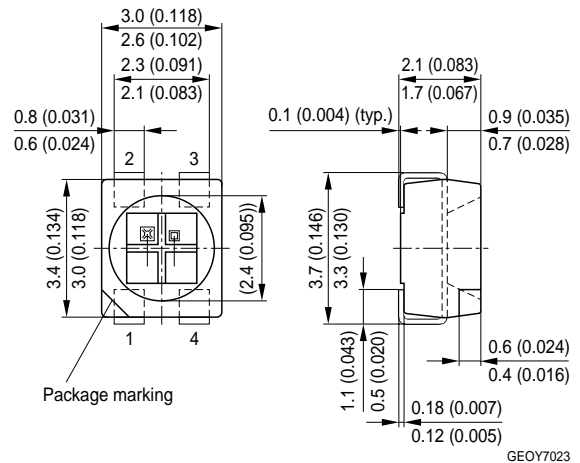


Figure 77: SFH 4580, SFH 4500

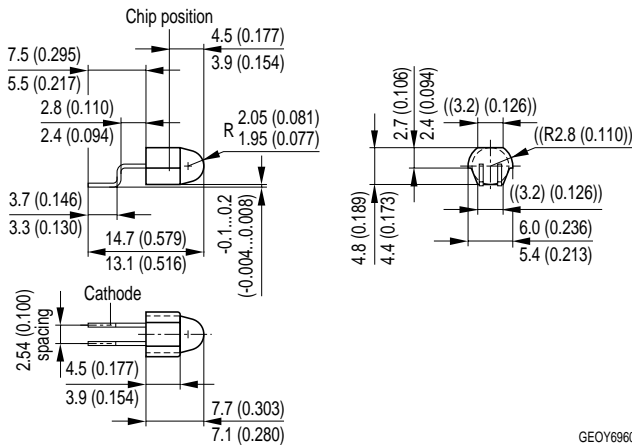
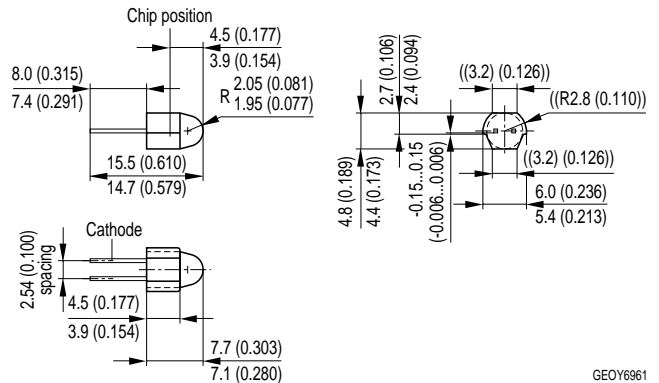


Figure 78: SFH 4585, SFH 4505



Silicon Photodetectors, Optical Sensors and Infrared Emitters

| Si-Fotodetektoren, Optische Sensoren und IR-Lumineszenzdioden

Outline drawings - Dimensions in mm (inch) | Outline drawings - Dimensions in mm (inch)

Figure 79: SFH 4730

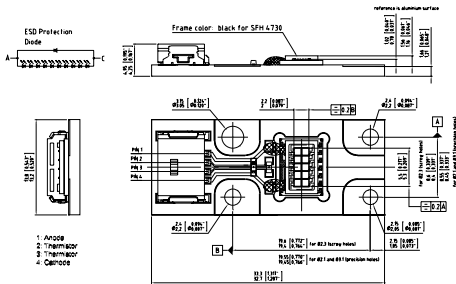


Figure 80: SFH 4740

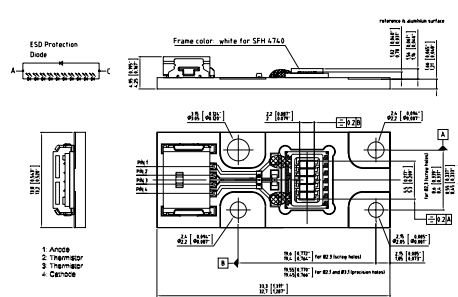


Figure 81: SFH 4750, SFH 4751

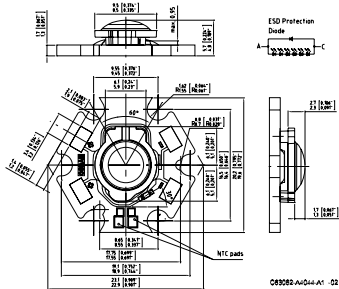


Figure 82: SFH 484, SFH 4550

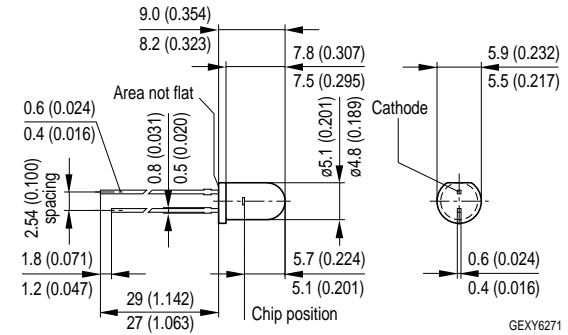


Figure 83: SFH 4556

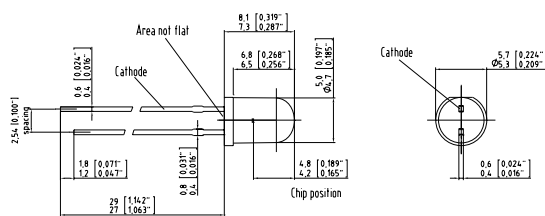
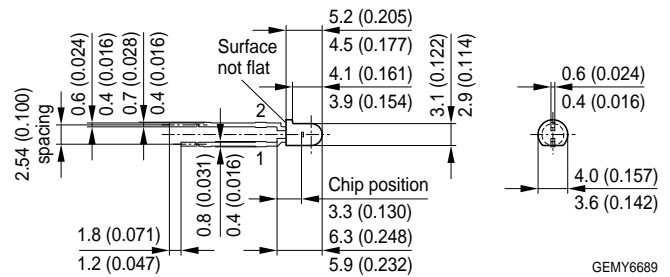


Figure 84: SFH 487, SFH 4350



Silicon Photodetectors, Optical Sensors and Infrared Emitters

| Si-Fotodetektoren, Optische Sensoren und IR-Lumineszenzdioden

Outline drawings - Dimensions in mm (inch) | Outline drawings - Dimensions in mm (inch)

Figure 85: SFH 4850, SFH 464, LD 242, SFH 483

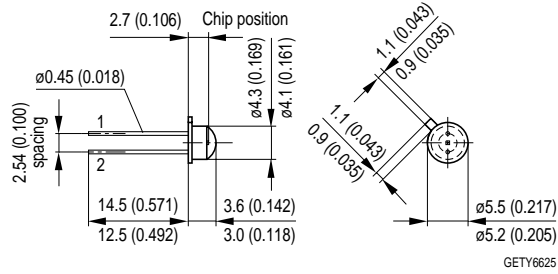


Figure 86: SFH 4545, SFH 4555

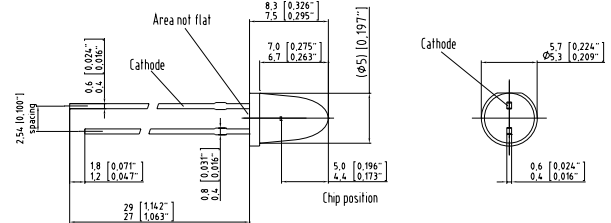


Figure 87: SFH 486

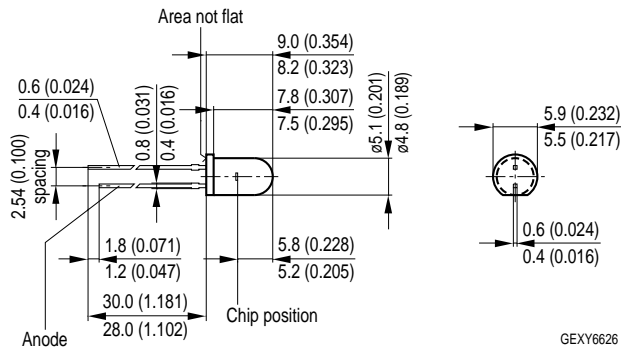


Figure 88: SFH 485

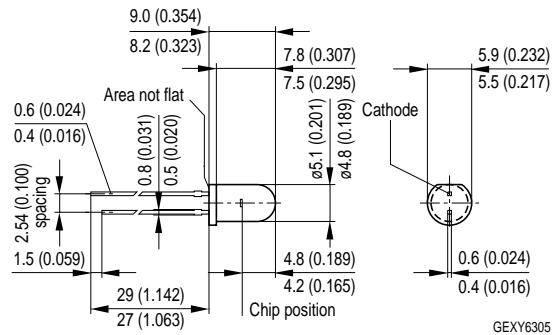


Figure 89: SFH 485 P

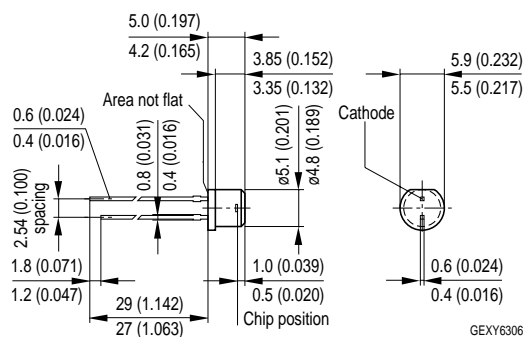
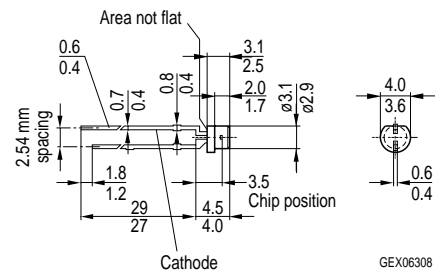


Figure 90: SFH 487 P



Silicon Photodetectors, Optical Sensors and Infrared Emitters

| Si-Fotodetektoren, Optische Sensoren und IR-Lumineszenzdioden

Outline drawings - Dimensions in mm (inch) | Outline drawings - Dimensions in mm (inch)

Figure 91: LD 274, SFH 4511

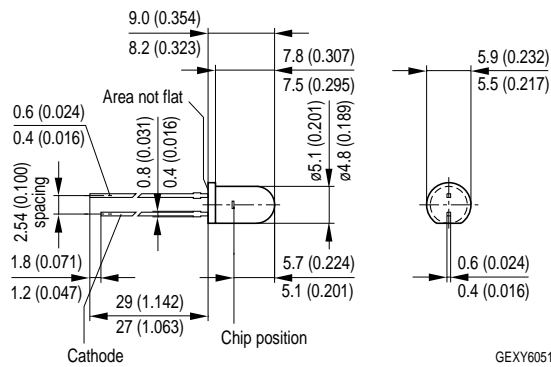


Figure 92: LD 271, LD 271 H

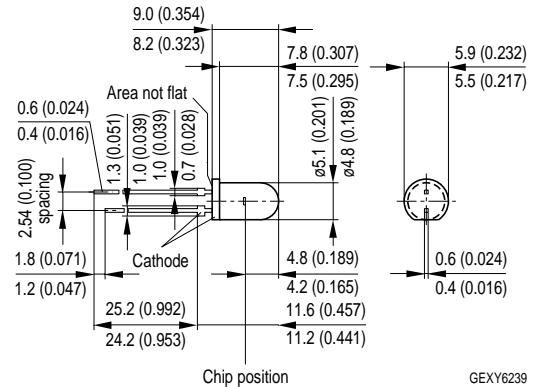


Figure 93: SFH 409

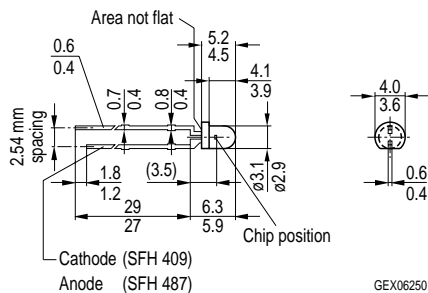


Figure 94: IRL 80 A, IRL 81 A

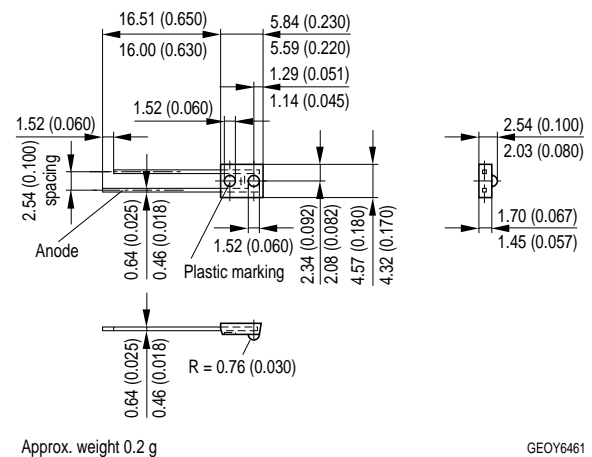


Figure 95: SFH 4860

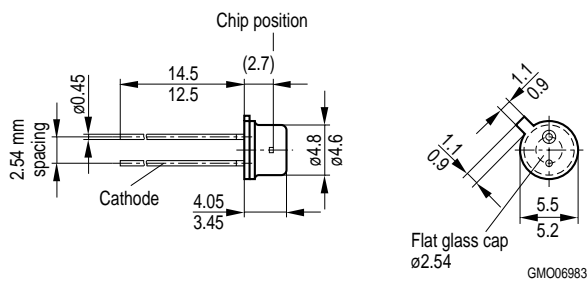
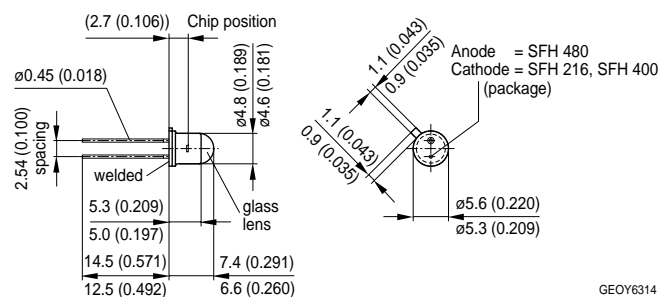


Figure 96: SFH 400, SFH 480



Silicon Photodetectors, Optical Sensors and Infrared Emitters

| Si-Fotodektoren, Optische Sensoren und IR-Lumineszenzdioden

Outline drawings - Dimensions in mm (inch) | Outline drawings - Dimensions in mm (inch)

Figure 97: SFH 4881

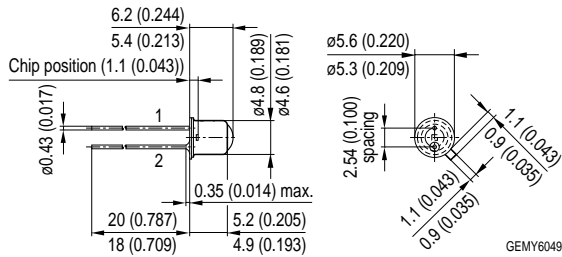


Figure 98: SFH 4883

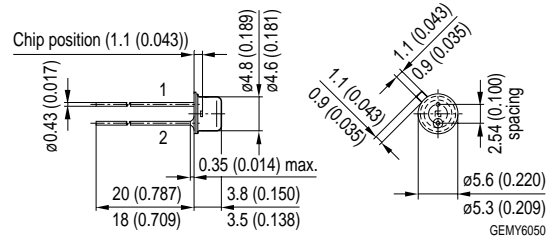


Figure 99: SFH 401

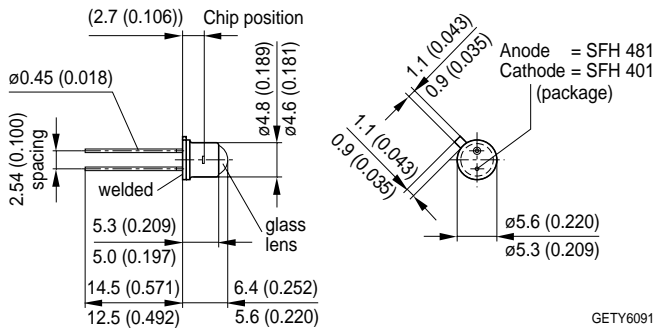


Figure 100: SFH 4811

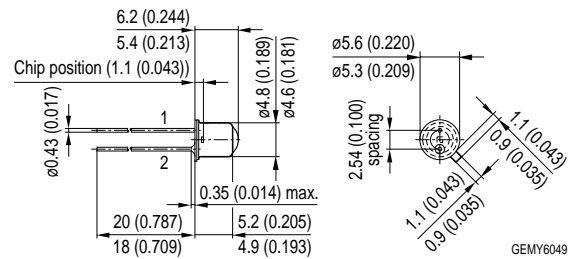


Figure 101: SFH 4883, SFH 4813

